# МИНИСТЕРСТВО НАУКИ И ВЫСШЕГО ОБРАЗОВАНИЯ РОССИЙСКОЙ ФЕДЕРАЦИИ

федеральное государственное бюджетное образовательное учреждение высшего образования

«Тольяттинский государственный университет»

#### Институт машиностроения

(наименование института полностью)

# Кафедра «Проектирование и эксплуатация автомобилей»

# 23.05.01 Наземные транспортно-технологические средства

(код и наименование направления подготовки)

# Автомобили и тракторы

(направленность (профиль))

# ВЫПУСКНАЯ КВАЛИФИКАЦИОННАЯ РАБОТА (ДИПЛОМНЫЙ ПРОЕКТ)

на тему Модернизация передней подвески легкового автомобиля LADA Niva Travel

| Обучающийся  | К.К. Гараев   |                   |  |  |  |  |  |
|--------------|---|-------------------|--|--|--|--|--|
| •            | (Инициалы Фамилия)  | (личная подпись)  |  |  |  |  |  |
| Руководитель | канд. техн. наук, доцент В.Н. Лата  |                   |  |  |  |  |  |
| Консультанты | (ученая степень (при наличии), ученое звание (при канд. техн. наук, доцент А. |                   |  |  |  |  |  |
| •            | (ученая степень (при наличии), ученое звание (при наличии), Инициалы Фамилия) |                   |  |  |  |  |  |
|              | канд. экон. наук, доцент Л.Л. Чумаков   |                   |  |  |  |  |  |
|              | (ученая степень (при наличии), ученое звание (при н<br>Фамилия)               | аличии), Инициалы |  |  |  |  |  |
|              | канд. техн. наук, доцент А.Н  | Н. Москалюк       |  |  |  |  |  |
|              | (ученая степень (при наличии), ученое звание (при наличии), Инициалы Фамилия) |                   |  |  |  |  |  |
|              | канд. филол. наук, доцент М   | .М. Бажутина      |  |  |  |  |  |
|              | (ученая степень (при наличии), ученое звание (при н<br>Фамилия)               | аличии), Инициалы |  |  |  |  |  |

#### Аннотация

Дипломный проект выполнен на тему: «Модернизация передней подвески легкового автомобиля LADA Niva Travel».

Цель работы представляет разработку модернизированной передней подвески, которая будет обеспечивать лучшие ходовые качества и повышенный срок службы ее компонентов.

Пояснительная записка, состоящая из 99 страниц, содержит в себе введение, шесть разделов, заключение, список используемой литературы и используемых источников, приложения.

Графическая часть состоит из 10 листов чертежей, выполненных на формате A1 с помощью компьютерных программ для конструкторского проектирования.

Дипломный проект полностью соответствует выданному заданию.

В первом разделе рассмотрены наиболее часто применяемые на легковых автомобилях типы подвесок. Произведен анализ серийной передней подвески LADA Niva Travel, выявлены основные недостатки и предложены решения по их устранению.

Во втором разделе произведен расчет тяговой динамики и топливной экономичности автомобиля.

В третьем разделе рассчитаны параметры жесткости и демпфирования подвески, произведен расчет переднего стабилизатора поперечной устойчивости и расчет пружины передней подвески.

В четвертом разделе разработан новый технологический процесс сборки передней подвески.

В пятом разделе рассмотрены вопросы безопасности и экологичности производства.

В шестом разделе расчетами подтверждена экономическая целесообразность модернизации передней подвески.

#### Annotation

The thesis project was carried out on the topic: «Modernization of the LADA Niva Travel front suspension».

The aim of the work is to develop an upgraded front suspension, which will provide better driving performance and an extended service life of its components.

The explanatory note, consisting of 99 pages, contains an introduction, six sections, a conclusion, a list of references and sources used, and appendices.

The graphic part consists of 10 sheets of drawings, made in A1 format using computer programs for design engineering.

The graduation project fully corresponds to the assigned task.

The first section discusses the types of suspensions most commonly used on passenger cars. The analysis of the LADA Niva Travel serial front suspension was carried out, the main disadvantages were identified and solutions for their elimination were proposed.

In the second section, the traction dynamics and fuel efficiency of the vehicle are calculated.

In the third section, the parameters of suspension stiffness and damping are calculated, the front stabilizer bar is calculated, and the front suspension spring is calculated.

In the fourth section, a new technological process for assembling the front suspension has been developed.

The fifth section discusses the issues of safety and environmental friendliness of production.

In the sixth section, calculations have confirmed the economic feasibility of upgrading the front suspension.

# Содержание

| Введение   | 6  |
|--|----|
| 1 Состояние вопроса  | 8  |
| 1.1 Подвеска автомобиля. Назначение и устройство                 | 8  |
| 1.2 Типы подвесок легковых автомобилей                           | 12 |
| 1.3 Выбор и обоснование принятого варианта конструкции           | 19 |
| 2 Расчет тяговой динамики и топливной экономичности автомобиля   | 20 |
| 2.1 Исходные данные  | 20 |
| 2.2 Определение мощности и момента двигателя                     | 21 |
| 2.3 Определение передаточных чисел трансмиссии                   | 26 |
| 2.4 Анализ тяговой динамики                                      | 29 |
| 2.5 Анализ динамики разгона. Разгон автомобиля                   | 31 |
| 2.6 Мощностной баланс автомобиля                                 | 34 |
| 2.7 Топливно-экономическая характеристика двигателя              | 35 |
| 3 Конструкторская часть  | 38 |
| 3.1 Расчет параметров жесткости и демпфирования подвески легково | ГО |
| автомобиля   | 38 |
| 3.2 Расчет переднего стабилизатора поперечной устойчивости       | 46 |
| 3.3 Расчет пружины передней подвески                             | 48 |
| 4 Технологическая часть  | 53 |
| 4.1 Анализ технологичности конструкции передней подвески         | 53 |
| 4.2 Разработка технологической схемы сборки передней подвески    | 53 |
| 4.3 Составление перечня сборочных работ                          | 54 |
| 4.4 Определение трудоемкости сборки передней подвески            | 56 |
| 5 Безопасность и экологичность проекта                           | 59 |
| 5.1 Описание рабочего места, оборудования и выполняемых          |    |
| технологических операций   | 59 |
| 5.2 Мероприятия по созданию безопасных условий труда             | 64 |

| 5.4 Обеспечение электробезопасности на производственном участке      | . 67 |
|--|------|
| 5.5 Обеспечение пожарной безопасности на производственном участке    | . 68 |
| 5.6 Обеспечение экологической безопасности технологического процесса | a    |
| сборки   | . 69 |
| 6 Экономическая эффективность проекта                                | . 70 |
| 6.1 Расчет себестоимости модернизированной подвески                  | . 70 |
| 6.2 Точка безубыточности производства                                | .77  |
| 6.3 Коммерческая эффективность модернизации                          | . 79 |
| 6.4 Экономический эффект от повышения надежности и долговечности     |      |
| проектируемых деталей  | . 84 |
| Заключение   | . 90 |
| Список используемой литературы и используемых источников             | .91  |
| Приложение А. Спецификации   | . 94 |

#### Введение

Современные автомобили представляют собой сложные механизмы, в которых каждая деталь играет важную роль в его эксплуатации. Одним из ключевых элементов, существенно влияющих на характеристики автомобиля, является его подвеска. Она отвечает за взаимодействие колес с дорогой, смягчает удары от неровностей и обеспечивает стабильность при движении. Однако с развитием технологий и изменением требований потребителей к автомобилям, возникает необходимость в постоянной модернизации подвески.

Автомобиль «Chevrolet Niva», представляющий собой совместный проект российских и зарубежных производителей, стал значимым явлением на рынке внедорожников с момента своего появления в начале 2000-х годов. Этот автомобиль сочетает в себе внедорожные качества «Нивы» и современные технологии, что сделало его популярным как среди любителей активного отдыха, так и среди городских пользователей. Однако, несмотря на свою универсальность и простоту в обслуживании, передняя подвеска автомобиля «LADA Niva Travel» требует модернизации для повышения комфорта и управляемости.

Модернизация подвески автомобиля включает в себя внедрение новых материалов, технологий и конструктивных решений, направленных на улучшение эксплуатационных характеристик и повышение уровня комфорта. В условиях растущей конкуренции на автомобильном рынке, производители стремятся предложить потребителям автомобили, которые не только соответствуют современным стандартам безопасности, но и обеспечивают высокий уровень комфорта и управляемости. Поэтому запросы потребителей стали расти, что делает модернизацию передней подвески «LADA Niva Travel» актуальной задачей.

Цель данной выпускной квалификационной работы заключается в исследовании современных подходов к модернизации подвески автомобиля,

анализе их влияния на эксплуатационные характеристики и выявлении перспективных направлений для дальнейшего совершенствования. В рамках работы будет проведен анализ «слабых» мест и недостатков передней подвески автомобиля «LADA Niva Travel», а также существующих решений, направленных на улучшение характеристик подвески, и оценка их влияния на эксплуатационные качества автомобиля. В работе будут рассмотрены как традиционные методы, так и новые технологии, такие как использование современных пружин, стабилизатора и материалов, а также возможные конструктивные изменения, направленные на улучшение эксплуатационных характеристик автомобиля.

Таким образом, актуальность темы модернизации передней подвески легкового автомобиля «LADA Niva Travel» обусловлена необходимостью соответствия современным требованиям и ожиданиям потребителей, что в свою очередь повысит конкурентоспособность данного автомобиля на рынке.

#### 1 Состояние вопроса

## 1.1 Подвеска автомобиля. Назначение и устройство

Подвеска автомобиля — это система, которая соединяет кузов автомобиля с колесами и играет ключевую роль в обеспечении комфорта и безопасности во время движения. Подвеска обуславливает положение кузова относительно дороги, смягчает удары и вибрации, возникающие при движении по неровной дороге, что позволяет водителю и пассажирам чувствовать себя комфортно при движении автомобиля по дорогам с различным качеством покрытия. Она обеспечивает предсказуемость управления автомобилем, особенно на поворотах и при маневрировании, помогает поддерживать контакт колес с дорогой. Элементы подвески помогают равномерно распределять вес автомобиля между колесами, что способствует более равномерному износу шин и повышает безопасность движения автомобиля и, кроме этого, подвеска влияет на функциональные свойства автомобиля, такие как: надежность, пассивная безопасность, проходимость, стоимость эксплуатации.

«Подвеска состоит из направляющих (1), упругих (2), гасящих (3) и стабилизирующих (4) элементов» [3]. Условная схема элементов подвески автомобиля представлена на рисунке 1.

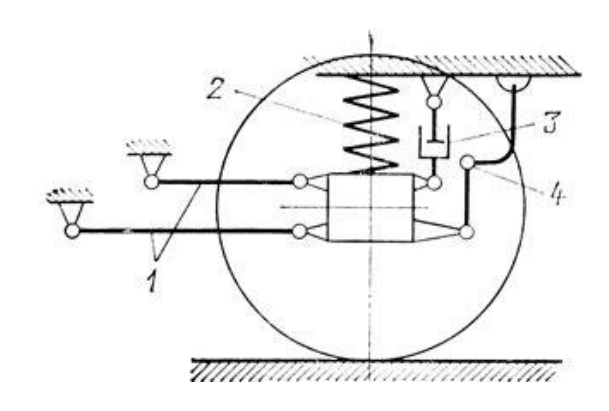


Рисунок 1 – Условная схема элементов подвески автомобиля

Рассмотрим устройство и назначение каждого элемента подвески более подробно.

Направляющие элементы подвески играют ключевую обеспечении стабильности точного управления автомобиля. И определяют геометрию подвески, передают продольные и поперечные силы между кузовом и колесами, являются опорным и связующим звеном для Их других элементов подвески. правильное проектирование И функционирование имеют решающее значение для общего качества езды и долговечности автомобиля.

«Направляющие элементы в подвеске могут быть представлены:

- рычагами,
- реактивными штангами,
- тягами,
- рессорами» [2].

Примеры направляющих элементов подвески представлены на рисунке 2 ниже.



Рисунок 2 – Направляющие элементы подвески

«Упругие элементы подвески представлены на большинстве легковых автомобилях разными видами пружин, хотя можно встретить также листовые рессоры – тип упругого элемента, который состоит из нескольких стальных

листов, соединенных между собой — и пневмобаллоны, упругий элемент которого представляет собой баллон, изготовленный из армированной резины, в него подаётся под давлением воздух от специального компрессора» [9].

Упругие элементы подвески принимают на себя нагрузки, которые возникают от дорожного полотна во время движения автомобиля, особенно при движении по дорогам с плохим качеством дорожного покрытия, минимизируют динамические нагрузки и вертикальные ускорения от дороги на кузов, смягчают удары, тем самым обеспечивая комфорт водителю и пассажирам при движении автомобиля. Кроме этого, к назначениям этих элементов следует отнести поддержание кузова на заданной высоте. Упругие элементы подвески изображены на рисунке 3.



Рисунок 3 – Упругие элементы подвески

Основной задачей гасящих элементов (амортизаторов) в подвеске автомобиля является рассеяние энергии колебаний кузова в тепловую энергию за счет трения жидкости. Они предотвращают чрезмерные колебания кузова автомобиля после проезда неровностей. Это помогает сохранить устойчивость автомобиля на дороге и повысить комфорт и безопасность движения.

В настоящее время все чаще автопроизводители применяют амортизаторы с избыточным давлением газа. «По сравнению с

«классическими» амортизаторами, амортизаторы с зарядным давлением газа от 3 до 5 атмосфер обеспечивают более широкий температурный диапазон работы, что положительно сказывается при длительном движении автомобиля в сложных дорожных условиях, но при этом снижается комфорт при движении по ровной дороге» [4]. Амортизатор подвески автомобиля представлен на рисунке 4.



Рисунок 4 – Амортизатор подвески автомобиля

Стабилизирующий элемент подвески (стабилизатор поперечной устойчивости) — это металлическая штанга, которая соединяет правую и левую стороны подвески. Пример стабилизатора поперечной устойчивости вы можете увидеть на рисунке 5.



Рисунок 5 – Стабилизатор поперечной устойчивости

Стабилизатор, являющийся дополнительным упругим элементом подвески, позволяет, совместно с другими упругими элементами, обеспечить необходимую угловую жесткость подвески. Он помогает уменьшить крен кузова, обеспечивая большую устойчивость и управляемость автомобиля при разноименных ходах подвески и во время прохождения поворотов.

#### 1.2 Типы подвесок легковых автомобилей

В настоящее время существует множество различных типов подвесок, применяемых на легковых автомобилях, каждый из которых имеет свои особенности, преимущества и недостатки. Рассмотрим устройство наиболее распространенных подвесок для автомобилей класса В и С, так как именно на них приходится большая часть автомобильного рынка.

#### 1.2.1 Подвеска типа Макферсон

«Подвеска Макферсон — это один из самых распространенных типов передней подвески, используемый в легковых автомобилях в настоящее время. Она была разработана инженером Эрлом Макферсоном в 1947 году и теперь стала стандартом для многих автопроизводителей» [19].

Подвеска Макферсон изображена на рисунке 6, состоит из амортизатора, пружины, верхней опоры и нижнего рычага. Амортизатор и пружина объединены в одном узле, что делает конструкцию компактной. Верхняя часть амортизатора крепится к кузову через опору, а нижняя — к поворотному кулаку. Нижний рычаг обычно монтируется на подрамнике, а подрамник, в свою очередь, устанавливается на лонжероны кузова с помощью болтов.

К преимуществам данной подвески можно отнести компактность и, как следствие, хорошую компонуемость с поперечно расположенным ДВС у переднеприводных автомобилей, низкую неподрессоренную массу, сравнительно большой ход, низкую стоимость, простоту в обслуживании.

Но, несмотря на наличие стольких преимуществ, недостатки у подвески макферсон тоже есть. Основным недостатком является «недостаточно хорошая» кинематика подвески по сравнению, например, с двухрычажной. Помимо этого подвеска Макферсон может быть более подвержена крену кузова при резких поворотах, что может негативно сказаться на стабильности автомобиля. Также следует отметить высокую наргуженность кузова в зоне верхней опоры стойки и минимальный антиклевковый эффект. Повышенная чувствительность передней оси к дисбалансу шин и биению — еще один недостаток подвески Макферсон.



Рисунок 6 – Подвеска Макферсон

В заключении можно сказать, что данный тип подвески является надежным и экономичным решением для многих автомобилей. Хотя она может иметь некоторые ограничения по сравнению с более сложными системами, ее простота и эффективность делают ее достаточно популярной.

#### 1.2.2 Подвеска на двойных поперечных рычагах

«Подвеска на двойных поперечных рычагах, изображенная на рисунке 7, — это одна из самых эффективных и сложных систем независимой подвески, используемая как на передней, так и на задней оси автомобилей. В

настоящее время чаще всего применяется на внедорожниках. Она обеспечивает отличные характеристики управляемости и комфорта» [20].

Как следует из названия, в этой системе используются два поперечных рычага (верхний и нижний). Обычно верхний и нижний шаровые шарниры размещают внутри колеса, рычаги в таком случае крепятся на подрамнике или поперечине передней подвески. Амортизаторы и пружины могут быть установлены отдельно или интегрированы в один узел, в зависимости от конструкции подвески. Колесо крепится к поворотному кулаку, который соединен с рычагами посредством шаровых шарниров.

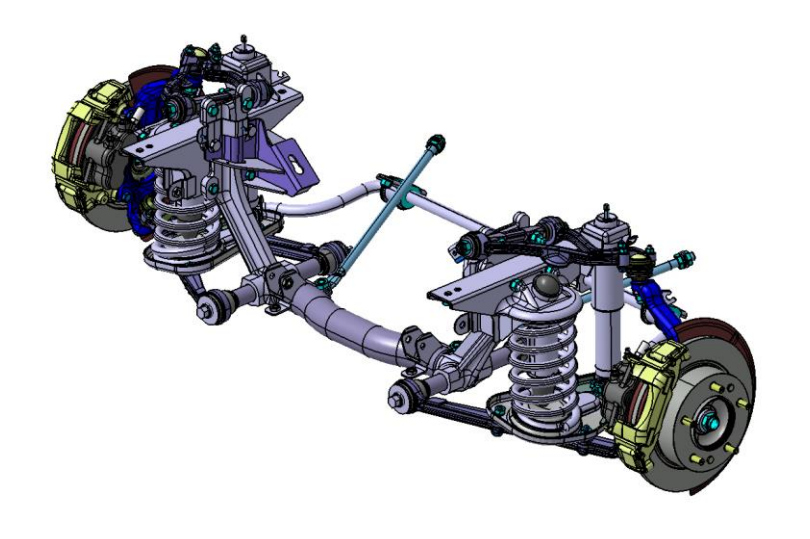


Рисунок 7 – Подвеска на двойных поперечных рычагах

Данная подвеска обладает отличной кинематикой, управляемостью, высокой плавностью хода, предоставляет большие возможности для настройки различных параметров, что позволяет адаптировать ее под конкретные условия эксплуатации.

К недостаткам следует отнести сложность конструкции, что влечет за собой увеличение стоимости производства и обслуживания, необходимость достаточного пространства в кузове автомобиля для размещения, а также достаточно большие значения неподрессоренных масс.

Подвеска на двойных поперечных рычагах — это высокоэффективная система, которая предлагает отличные характеристики управления и комфорта. Несмотря на свою сложность и стоимость, она все еще остается востребованной.

#### 1.2.3 Полунезависимая подвеска

Эта подвеска сочетает в себе элементы как зависимой, так и независимой подвески. Она обеспечивает определенную степень независимости движения колес, но не в такой мере, как полностью независимые системы. Полунезависимая подвеска (рисунок 8) часто применяется на задней оси недорогих легковых автомобилей классов A, B и C.



Рисунок 8 – Полунезависимая подвеска

Полунезависимая подвеска обычно включает в себя один общий элемент, например, торсионную балку, который соединяет два задних продольных рычага, к которым, в свою очередь, прикреплены колеса со ступицами. Это позволяет колесам двигаться относительно друг друга, но не полностью независимо. В большинстве случаев используются пружины и

амортизаторы, верхние части которых закреплены на кузове, а нижние на рычагах задней подвески.

К преимуществам данного типа подвески можно отнести простоту устройства, дешевизну в производстве и последующем обслуживании, компактность. Нужно отметить, что данная подвеска обеспечивает достаточно хорошую устойчивость автомобиля на дороге и может быть эффективна на легком бездорожье.

Недостатки полунезависимой подвески таковы:

- ограниченная независимость колес,
- достаточно большие неподрессоренные массы,
- невозможность использования на ведущих задних мостах,
- невозможность разделить жесткость резинометаллических шарниров в продольном и поперечном направлении,
- более низкий уровень комфорта по сравнению с полностью независимыми системами.

Полунезависимая подвеска — это компромисс между независимой и зависимой подвесками, предлагающий разумный баланс между стоимостью, управляемостью и комфортом. Она подходит для широкого спектра автомобилей, обеспечивая хорошие характеристики для повседневного использования.

#### 1.2.4 Зависимая подвеска с неразрезным мостом

Подвеска с неразрезным мостом — это тип зависимой подвески, в которой колеса одной оси соединены жесткой осью (или мостом), что обеспечивает их синхронное движение. Эта конструкция широко используется на внедорожниках и некоторых легковых автомобилях, поскольку она обладает высокой прочностью и надежностью.

Неразрезной мост представляет собой жесткую балку, которая соединяет два колеса. Эта балка чаще всего выполнена из стали, если говорить про легковые автомобили. Мост также является кожухом для главной

передачи, дифференциала и полуосей, ведь этот тип подвески используют на задне- и полноприводных автомобилях. На мосту обычно устанавливаются пружины и амортизаторы, которые помогают гасить удары и обеспечивают комфорт при движении, но они работают на оба колеса одновременно. Балка заднего моста крепится к кузову посредством продольных и поперечных штанг или тяг. Подвеска с неразрезным мостом изображена на рисунке 9.

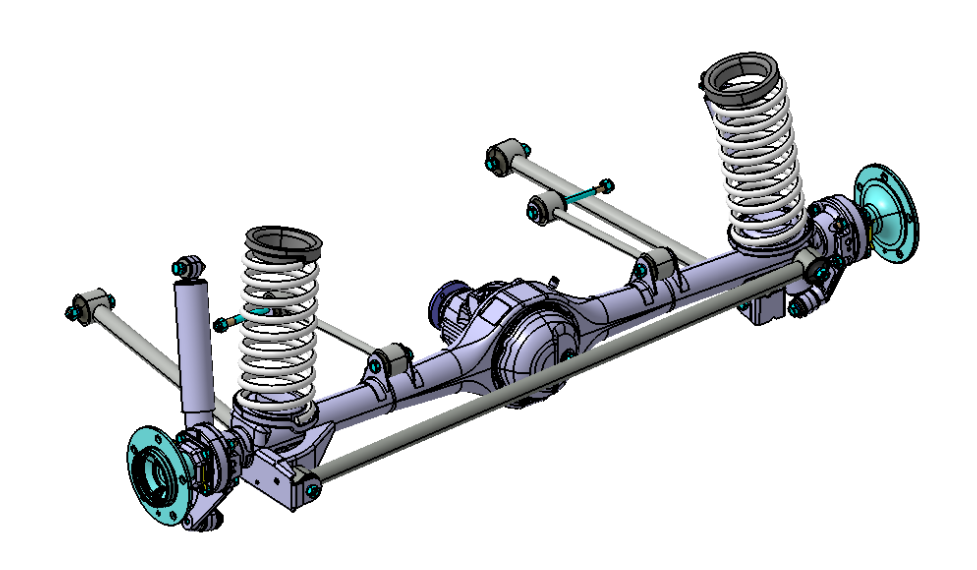


Рисунок 9 – Подвеска с неразрезным мостом

Неразрезной мост способен выдерживать большие нагрузки, что делает его идеальным для тяжелых условий эксплуатации, например, для внедорожных условий. Зависимая подвеска проще в производстве и обслуживании, соответственно дешевле обходится автопроизводителям и владельцам автомобилей. Кроме этого, данный тип подвески обеспечивает хорошую устойчивость на ровных дорогах и при движении по легкому бездорожью.

К недостаткам относятся большая неподрессоренная масса элементов подвески, плохая управляемость и сцепление колес с дорожным покрытием на неровностях и в поворотах, более низкий уровень комфорта, по сравнению с другими типами подвесок.

Подвеска с неразрезным мостом — это надежная и прочная система, которая отлично подходит для определенных типов автомобилей, например для легких коммерческих автомобилей и внедорожников, и тяжелых условий эксплуатации. Несмотря на некоторые ограничения в плане комфорта и управляемости, ее преимущества в прочности и простоте конструкции делают ее популярным выбором для многих производителей.

Выводы по подразделу.

Заканчивая обзор самых наиболее часто встречающихся подвесок, отметим, что подвеска является одним из ключевых компонентов легковых автомобилей, определяющим не только комфорт и управляемость, но и безопасность на дороге. Существуют различные типы подвесок, каждая из которых имеет свои уникальные характеристики, преимущества и недостатки.

Независимые подвески, такие как Макферсон, двухрычажные и многорычажные системы, обеспечивают высокий уровень комфорта и хорошее сцепление с дорогой, что делает их популярными в современных легковых автомобилях. Они позволяют колесам двигаться независимо друг от друга, что особенно важно при движении по неровным покрытиям и в поворотах.

С другой стороны, зависимые подвески, включая подвеску с неразрезным мостом, предлагают простоту конструкции и высокую прочность, что делает их идеальными для внедорожников. Хотя они могут уступать независимым системам в плане комфорта, но надежность и способность справляться с большими нагрузками делают их востребованными в определенных сегментах рынка.

В заключение хочется сказать, что выбор типа подвески зависит от назначения автомобиля и требований к его эксплуатации. Производители автомобилей продолжают разрабатывать и совершенствовать подвески, стремясь достичь оптимального баланса между комфортом, управляемостью,

ценой и надежностью, ведь запросы и требования к автомобилям у потребителей повышаются каждый год.

#### 1.3 Выбор и обоснование принятого варианта конструкции

В процессе анализа передней подвески автомобиля LADA Niva Travel и опыта конструирования и производства АО «АвтоВАЗ» было принято решение разрабатывать пружины холодной навивки и стабилизатор поперечной устойчивости с новой геометрией.

Новые пружины позволят решить одну из проблем данного автомобиля – опускание передней части кузова со временем эксплуатации. Связано это с тем, что в пружинах горячей навивки в ходе эксплуатации возникают касательные напряжения, превышающие допустимые, что приводит к «проседанию» пружин. При изготовлении пружин методом холодной навивки такого не возникает, что даже позволяет использовать пруток меньшего диаметра для их изготовления, тем самым попутно снижая массу автомобиля.

Иная конструкция стабилизатора поперечной устойчивости позволяет решить ещё ряд дефектов в подвеске, такие как: нефункциональные шумы и скрипы при работе стабилизатора, выдавливание подушки стабилизатора из обоймы его крепления. Кроме того, переднее расположение стабилизатора с креплением к передним рычагам через стойки стабилизатора разгружает нижние рычаги и улучшает кинематику передней подвески в целом, предоставляя нижним рычагам больше степеней свободы.

# 2 Расчет тяговой динамики и топливной экономичности автомобиля

# 2.1 Исходные данные

| «АвтомобильBA3 2123 (LADA Niva Travel)                                     |
|--|
| Колесная формула4х4, полный привод   |
| Количество мест $n=5$  |
| Масса человека, кг   |
| Длина, мм  |
| Ширина, мм $B_{\Gamma} = 1804$   |
| Высота, мм $H_r = 1652$  |
| Масса в снаряженном состоянии, кг  |
| Размерность шин  |
| Коэффициент аэродинамического сопротивления $C_x = 0.455$                  |
| Коэффициент сопротивления качению $f_0 = 0.010$                            |
| Коэффициент преодолеваемого уклона $\alpha_{imax} = 0.30$                  |
| Максимальная скорость, м/с $V_{max} = 38,89$                               |
| Максимальная частота вращения коленчатого вала, рад/с $\omega_{max} = 628$ |
| Минимальная частота вращения коленчатого вала, рад/с $\omega_{max} = 90$   |
| Коэффициент полезного действия трансмиссии $\eta_{\text{тр}} = 0.88$       |
| Число передач в коробке передач5   |
| Распределение массы автомобиля по осям, %:                                 |
| Передняя ось   |
| Задняя ось   |
| Плотность воздуха, кг/м $^3$   |
| Плотность топлива, кг/л  |

#### 2.2 Определение мощности и момента двигателя

#### 2.2.1 Определение полной массы автомобиля

Для начала определим удельную грузоподьемность автомобиля по формуле (1):

$$\ll \eta_{\rm m} = \frac{\rm m_{\rm r}}{\rm m_{\rm o}},\tag{1}$$

где  $m_{\Gamma}$  – грузоподъемность автомобиля, кг;

 $m_0$  – снаряженная масса автомобиля, кг» [16].

$$\eta_{\rm m} = \frac{450}{1465} = 0.307.$$

Теперь определим полную массу автомобиля по формуле (2):

где m<sub>ч</sub> – масса человека;

n – количество пассажиров, включая водителя;

 $m_{\delta}$  – масса багажа, равная по 10 кг на одного человека» [16].

$$m_a = 1465 + 75 \cdot 5 + 50 = 1890$$
 кг.

Полученное значение будем применять в последующем для расчетов.

### 2.2.2 Определение статического радиуса колеса

Определим статический радиус колеса по формуле (3):

где d – посадочный диаметр шин, равный 15 дюймов (0,381 м);

 $\lambda_z$  – коэффициент вертикальной деформации, равный 0,85;

H – высота профиля шины, равная 0,1435 м» [16].

где  $r_{\text{д}}$  – динамический радиус колеса;

 $r_{\kappa}$  – радиус качения колеса» [16].

В нашем расчете принимаем динамический радиус колеса и радиус качения колеса равными статическому радиусу колеса.

#### 2.2.3 Определение коэффициента обтекаемости

Далее найдем коэффициент обтекаемости автомобиля по формуле (5):

$$k = \frac{Cx \cdot \rho}{2},$$
 (5)

где С<sub>х</sub> – коэффициент аэродинамического сопротивления;

 $\rho$  – плотность воздуха, кг/м<sup>3</sup>» [16].

$$k = \frac{0,455 \cdot 1,293}{2} = 0,294 \frac{H \cdot c^2}{M^4}.$$

В результате расчета полученное значение коэффициента обтекаемости составляет  $0.294~{
m H\cdot c^2/m^4}.$ 

#### 2.2.4 Расчет лобовой площади автомобиля

Затем рассчитаем лобовую площадь автомобиля по формуле (6):

$$(6)$$

где  $B_r$  – габаритная ширина автомобиля, м;

 $H_{\Gamma}$  – габаритная высота автомобиля, м» [16].

$$F = 0.8 \cdot 1.804 \cdot 1.652 = 2.384 \text{ m}^2.$$

Значение величины лобовой площади автомобиля понадобится нам при расчете для определения внешней скоростной характеристики двигателя.

# 2.2.5 Расчет коэффициента сопротивления качению при максимальной скорости

Для расчетов впоследствии нам понадобится коэффициент сопротивления качению автомобиля при максимальной скорости, рассчитаем же его по формуле (7):

$$\ll f = f_0 \cdot \left(1 + \frac{V_{\text{max}}^2}{2000}\right), \tag{7}$$

где f<sub>o</sub> – коэффициент сопротивления качению;

 $V_{max}$  – максимальная скорость автомобиля, м/с» [16].

$$f = 0.010 \cdot \left(1 + \frac{(38.89)^2}{2000}\right) = 0.0176.$$

В ходе расчета мы получили значение коэффициента сопротивления качению при максимальной скорости, равное 0,0176.

# 2.2.6 Определение внешней скоростной характеристики двигателя

Сначала определим мощность двигателя при максимальной скорости автомобиля с помощью формулы мощностного баланса (8) с учетом КПД трансмиссии:

$$N_{v} = \frac{1}{\eta_{TD}} \cdot \left( G_{a} \cdot \psi_{v} \cdot V_{max} + \frac{C_{x} \cdot \rho}{2} \cdot F \cdot V_{max}^{3} \right),$$
 (8)

где  $\eta_{\text{тр}} - K\Pi Д$  трансмиссии;

 $G_{a}$  – полный вес автомобиля, H;

 $\psi_{v}$  — коэффициент сопротивления дороги при максимальной скорости автомобиля.

$$G_{a} = m_{a} \cdot g, \tag{9}$$

где g – ускорение свободного падения, равное 9,81 м/ $c^2$ » [16].

$$G_a = 1890 \cdot 9{,}81 = 18540{,}9 \text{ H}.$$

«Для легковых автомобилей коэффициент суммарного дорожного сопротивления назначают равным коэффициенту качения при максимальной скорости:

«Далее находим максимальную мощность двигателя в зависимости от его типа:

$$N_{\text{max}} = \frac{N_{\text{v}}}{a \cdot \lambda + b \cdot \lambda^2 - c \cdot \lambda^3},\tag{10}$$

где a, b, c – эмпирические коэффициенты, (a = b = c = 1);

 $\lambda = \frac{\omega_{max}}{\omega_n}$  — отношение максимальной частоты вращения коленчатого вала к частоте вращения коленчатого вала при максимальной скорости, принимаем равным 1,1» [16].

$$N_{\text{max}} = \frac{64161,4}{1 \cdot 1.1 + 1 \cdot 1.1^2 - 1 \cdot 1.1^3} = 65537,7 \text{ BT} = 65,5 \text{ kBT}.$$

«Определим частоту вращения коленчатого вала при максимальной мощности:

$$\omega_{\rm N} = \frac{\omega_{\rm max}}{\lambda},\tag{11}$$

где  $\omega_{max}$  — максимальная частота вращения коленчатого вала, рад/с» [16].

$$\omega_{\rm N} = \frac{628}{1.1} = 571 \ {\rm pag/c}.$$

По полученным значениям  $N_{max}$  и  $N_v$  рассчитаем внешнюю скоростную характеристику двигателя по формуле (12):

$$N_e = N_{max} \cdot \left[ a \cdot \frac{\omega_e}{\omega_N} + b \cdot \left( \frac{\omega_e}{\omega_N} \right)^2 - c \cdot \left( \frac{\omega_e}{\omega_N} \right)^3 \right],$$
 (12)

где  $\omega_e$  — значения угловой скорости коленчатого вала, рад/с» [16].

Затем рассчитаем эффективный момент двигателя по формуле (13):

$$«M_e = \frac{N_e}{\omega_e} » [2].$$
 (13)

Примем минимальную частоту вращения коленчатого вала  $\omega_{min}$  равной 90 рад/с. Произведем расчеты и результаты расчетов запишем в таблицу 1:

Таблица 1 — Зависимость эффективной мощности двигателя и эффективного момента от угловой скорости коленчатого вала

| ω <sub>e</sub> , | 90     | 167    | 244    | 321    | 398    | 475    | 552    | 628    |
|------------------|--------|--------|--------|--------|--------|--------|--------|--------|
| рад/с            |        |        |        |        |        |        |        |        |
| Ne, кВт          | 11,69  | 23,12  | 34,84  | 45,89  | 55,30  | 62,11  | 65,36  | 64,13  |
| Ме, Нм           | 129,89 | 138,44 | 142,79 | 142,96 | 138,94 | 130,76 | 118,41 | 102,12 |

По данным из таблицы 1 был построен график внешней скоростной характеристики двигателя, который размещен на листе A1.

#### 2.3 Определение передаточных чисел трансмиссии

#### 2.3.1 Определение передаточного числа главной передачи

«Передаточное число главной передачи  $U_0$  определяется, исходя из максимальной скорости автомобиля по формуле (14):

$$U_0 = \frac{r_k}{U_k \cdot U_{p1}} \cdot \frac{\omega_{max}}{V_{max}},\tag{14}$$

где  $U_k$  — передаточное число высшей передачи в коробке передач, на которой обеспечивается максимальная скорость автомобиля;

 $U_{p1}$  — передаточное число повышающей передачи в раздаточной коробке, принимаем равным 1,2;

 $\omega_{max}$  — максимальная угловая скорость вращения коленчатого вала двигателя, рад/с» [16].

$$U_0 = \frac{0.312}{1 \cdot 1.2} \cdot \frac{628}{38.89} = 4.2.$$

Однако, передаточное число главной передачи автомобиля Lada Niva Travel равно 3,9, поэтому для дальнейших расчетов будем использовать его.

# 2.3.2 Определение передаточных чисел коробки передач

«Для обеспечения возможности движения автомобиля при заданном максимальном дорожном сопротивлении тяговая сила на ведущих колесах  $P_{\scriptscriptstyle T}$  должна быть больше силы сопротивления дороги  $P_{\scriptscriptstyle R}$ , то есть:

$$U_1 \ge \frac{G_a \cdot \psi_{\text{max}} \cdot r_k}{M_{\text{max}} \cdot \eta_{\text{TD}} \cdot U_0 \cdot U_{\text{p1}}},\tag{15}$$

где  $\Psi_{max}$  – максимальный коэффициент сопротивления дороги;

 $M_{\text{max}}-$  максимальный эффективный момент двигателя, H/м.

$$\psi_{\text{max}} = \alpha_{\text{max}} + f_0 = 0.30 + 0.010 = 0.310 \text{ max}$$
 [16], (16)  
$$U_1 \ge \frac{18540.9 \cdot 0.310 \cdot 0.312}{142.96 \cdot 0.88 \cdot 3.9 \cdot 1.2} \ge 3.05.$$

«Во избежание буксования ведущих колес тяговая сила на первой передаче должна быть меньше силы сцепления колес с дорогой:

$$U_1 \le \frac{G_{cu} \cdot \phi \cdot r_{\kappa}}{M_{\text{max}} \cdot \eta_{\text{TD}} \cdot U_0 \cdot U_{\text{D2}}},\tag{17}$$

где  $G_{cu}$  – сцепной вес автомобиля, H;

 φ – коэффициент сцепления ведущих колес с дорогой на сухом асфальтовом шоссе в хорошем состоянии, принимаем равным 0,8;

 $U_{p2}$  — передаточное число понижающей передачи в раздаточной коробке, принимаем равным 2,1.

Для полноприводных автомобилей  $G_{eq} = G_a$ » [16].

$$U_1 \le \frac{18540,9 \cdot 0,8 \cdot 0,312}{142,96 \cdot 0,88 \cdot 3,9 \cdot 2,1} \le 4,49.$$

Принимаем  $U_1$ =3,7 и определим передаточные числа остальных передач:

$$U_2 = 2,10,$$
  
 $U_3 = 1,36,$   
 $U_4 = 1,00,$   
 $U_5 = 0,82.$ 

«Передаточное число для заднего хода автомобиля определяется во время компоновки коробки передач.

$$U_{3x} = 0.95 \cdot U_1 = 0.95 \cdot 3.7 = 3.44 \times [16].$$
 (18)

«Расчет передаточного числа понижающей передачи раздаточной коробки можно произвести исходя из условия отсутствия буксования ведущих колес. Для этого используется формула:

$$U_{p} = \frac{G_{cu} \cdot \varphi \cdot r_{\kappa}}{M_{max} \cdot \eta_{Tp} \cdot U_{0} \cdot U_{1}} \times [16].$$

$$U_{p} = \frac{18540.9 \cdot 0.8 \cdot 0.312}{142.96 \cdot 0.88 \cdot 3.9 \cdot 3.7} = 2.127.$$
(19)

В соответствии с принятыми числами произведем расчет скорости автомобиля на разных передачах по формуле (20):

$$V = \frac{r_{k} \cdot \omega_{B}}{U_{0} \cdot U_{k} \cdot U_{p1}},$$
 (20)

где  $U_k$  – передаточное число выбранной передачи коробки передач» [16].

Результаты расчета скоростей запишем в таблицу 2:

Таблица 2 – Скорость автомобиля на различных передачах

| ω <sub>в</sub> , c <sup>-1</sup> | Скорость на передаче, м/с |       |       |       |       |  |  |  |  |  |
|----------------------------------|---------------------------|-------|-------|-------|-------|--|--|--|--|--|
|                                  | 1                         | 2     | 3     | 4     | 5     |  |  |  |  |  |
| 90                               | 1,51                      | 2,33  | 3,59  | 5,57  | 6,96  |  |  |  |  |  |
| 167                              | 2,79                      | 4,33  | 6,67  | 10,34 | 12,92 |  |  |  |  |  |
| 244                              | 4,08                      | 6,32  | 9,75  | 15,10 | 18,88 |  |  |  |  |  |
| 321                              | 5,37                      | 8,31  | 12,82 | 19,87 | 24,84 |  |  |  |  |  |
| 398                              | 6,66                      | 10,31 | 15,90 | 24,64 | 30,80 |  |  |  |  |  |
| 475                              | 7,95                      | 12,30 | 18,97 | 29,40 | 36,76 |  |  |  |  |  |
| 552                              | 9,24                      | 14,30 | 22,05 | 34,17 | 42,71 |  |  |  |  |  |
| 628                              | 10,51                     | 16,27 | 25,08 | 38,88 | 48,60 |  |  |  |  |  |

Передаточные числа высших передач могут быть несколько сближены с учетом потерь скорости автомобиля при переключении передач и

использовании наибольшей средней мощности двигателя при разгоне на высших передачах. Поэтому должно выполняться неравенство:

$$\frac{U_3}{U_4} \ge \frac{U_4}{U_5},$$

$$\frac{1,36}{1} > \frac{1}{0,82}.$$
(21)

Как мы можем видеть, в данном случае неравенство выполняется.

#### 2.4 Анализ тяговой динамики

#### 2.4.1 Тяговый баланс автомобиля

Сила тяги на ведущих колесах автомобиля, в зависимости от скорости автомобиля, для каждой из передач в коробке передач:

$$^{\mathsf{q}} = \frac{\mathsf{U}_{\mathsf{K}} \cdot \mathsf{U}_{0} \cdot \mathsf{U}_{\mathsf{p}1} \cdot \mathsf{M}_{\mathsf{e}} \cdot \mathsf{\eta}_{\mathsf{T}\mathsf{p}}}{\mathsf{r}_{\mathsf{K}}} * [16].$$

«При движении автомобиль приобретает силу сопротивления воздуха, которую определяют по формуле (23):

$$P_{\rm B} = \frac{1}{2} C_{\rm X} \cdot \rho \cdot F \cdot V^2 \approx [16]. \tag{23}$$

Силу сопротивления качению автомобиля определим по формуле (24):

$$^{\mathsf{q}} P_{\mathsf{q}} = G_{\mathsf{a}} \cdot f * [16].$$
(24)

Суммарная сила сопротивления движению автомобиля:

$$P_{\Sigma} = P_{\scriptscriptstyle B} + P_{\scriptscriptstyle A}. \tag{25}$$

Результаты расчетов сведем в таблицы 3 и 4:

Таблица 3 – Тяговая сила автомобиля на различных передачах

| ω <sub>в</sub> , | Тяговая | сила на вед | Сила со     | Сила сопротивления на 5 |         |                            |                                    |              |
|------------------|---------|-------------|-------------|-------------------------|---------|----------------------------|------------------------------------|--------------|
| c-1              |         |             | передаче, Н |                         |         |                            |                                    |              |
|                  | 1       | 2           | 3           | 4                       | 5       | $P_{\scriptscriptstyle B}$ | $P_{\scriptscriptstyle  m I\!\!I}$ | $P_{\Sigma}$ |
| 90               | 6831,81 | 4412,98     | 2861,98     | 1846,44                 | 1477,15 | 33,97                      | 227,88                             | 261,85       |
| 167              | 7281,52 | 4703,47     | 3050,37     | 1967,98                 | 1574,38 | 117,06                     | 241,06                             | 358,12       |
| 244              | 7510,31 | 4851,26     | 3146,21     | 2029,81                 | 1623,85 | 249,97                     | 262,14                             | 512,11       |
| 321              | 7519,27 | 4857,03     | 3149,96     | 2032,23                 | 1625,79 | 432,70                     | 291,13                             | 723,83       |
| 398              | 7307,82 | 4720,45     | 3061,38     | 1975,09                 | 1580,07 | 665,25                     | 328,02                             | 993,27       |
| 475              | 6877,57 | 4442,54     | 2881,15     | 1858,80                 | 1487,04 | 947,63                     | 372,82                             | 1320,45      |
| 552              | 6228,00 | 4022,95     | 2609,03     | 1683,24                 | 1346,59 | 1279,22                    | 425,42                             | 1704,64      |
| 628              | 5371,20 | 3469,50     | 2250,10     | 1451,68                 | 1161,34 | 1656,38                    | 485,25                             | 2141,63      |

По значениям данных из таблицы 3 был построен график силового баланса автомобиля, который находится на листе A1.

Таблица 4 – Сила сопротивления воздуха при различной скорости автомобиля

|       | 1                  | 4      | 2                  |        | 3                  | 4      |                    | 5      |             |
|-------|--------------------|--------|--------------------|--------|--------------------|--------|--------------------|--------|-------------|
| V,    | Р <sub>в</sub> , Н | V, м/c | $P_{B}$ , H |
| м/с   |                    |        |                    |        |                    |        |                    |        |             |
| 1,51  | 1,60               | 2,33   | 3,81               | 3,59   | 9,04               | 5,57   | 21,76              | 6,96   | 33,97       |
| 2,79  | 5,46               | 4,33   | 13,15              | 6,67   | 31,20              | 10,34  | 74,98              | 12,92  | 117,06      |
| 4,08  | 11,67              | 6,32   | 28,01              | 9,75   | 66,66              | 15,10  | 159,90             | 18,88  | 249,97      |
| 5,37  | 20,22              | 8,31   | 48,43              | 12,82  | 115,26             | 19,87  | 276,87             | 24,84  | 432,70      |
| 6,66  | 31,11              | 10,31  | 74,54              | 15,90  | 177,29             | 24,64  | 425,76             | 30,80  | 665,25      |
| 7,95  | 44,32              | 12,30  | 106,10             | 18,97  | 252,36             | 29,40  | 606,15             | 36,76  | 947,63      |
| 9,24  | 59,87              | 14,30  | 143,40             | 22,05  | 340,96             | 34,17  | 818,80             | 42,71  | 1279,22     |
| 10,51 | 77,46              | 16,27  | 185,64             | 25,08  | 441,10             | 38,88  | 1060,08            | 48,60  | 1656,38     |

Таким образом, теперь мы знаем значения силы сопротивления воздуха для нужных нам скоростей, они пригодятся для вычисления динамического фактора автомобиля.

#### 2.4.2 Динамическая характеристика автомобиля

«Динамическим фактором D автомобиля называют отношение разности силы тяги и силы сопротивления воздуха к весу автомобиля, определим его по формуле (26):

$$D = \frac{P_{\rm T} - P_{\rm B}}{G_{\rm a}} \times [16]. \tag{26}$$

Результаты расчетов динамического фактора сведены в таблицу 5.

Таблица 5 — Результаты расчетов динамического фактора D и коэффициента сопротивления f

| ω <sub>в</sub> , | Динам  | иический | і фактор | D на пер | едаче  | Коэффициент сопротивления качению |        |        |        |        |
|------------------|--------|----------|----------|----------|--------|-----------------------------------|--------|--------|--------|--------|
| c <sup>-1</sup>  |        |          |          |          |        |                                   |        | f      |        |        |
|                  | 1      | 2        | 3        | 4        | 5      | 1                                 | 2      | 3      | 4      | 5      |
| 90               | 0,3684 | 0,2378   | 0,1539   | 0,0984   | 0,0778 | 0,0100                            | 0,0100 | 0,0101 | 0,0102 | 0,0103 |
| 167              | 0,3924 | 0,2530   | 0,1628   | 0,1021   | 0,0786 | 0,0100                            | 0,0101 | 0,0103 | 0,0105 | 0,0108 |
| 244              | 0,4044 | 0,2601   | 0,1661   | 0,1009   | 0,0741 | 0,0101                            | 0,0102 | 0,0105 | 0,0112 | 0,0118 |
| 321              | 0,4045 | 0,2594   | 0,1637   | 0,0952   | 0,0643 | 0,0102                            | 0,0103 | 0,0108 | 0,0120 | 0,0131 |
| 398              | 0,3925 | 0,2506   | 0,1556   | 0,0836   | 0,0493 | 0,0103                            | 0,0105 | 0,0113 | 0,0130 | 0,0148 |
| 475              | 0,3686 | 0,2339   | 0,1418   | 0,0676   | 0,0291 | 0,0103                            | 0,0108 | 0,0118 | 0,0143 | 0,0168 |
| 552              | 0,3327 | 0,2092   | 0,1223   | 0,0466   | 0,0036 | 0,0104                            | 0,0110 | 0,0124 | 0,0159 | 0,0191 |
| 628              | 0,2855 | 0,1771   | 0,0976   | 0,0211   | -0,026 | 0,0106                            | 0,0113 | 0,0132 | 0,0176 | 0,0218 |

Динамический фактор автомобиля представлен на листе A1 данной работы.

# 2.5 Анализ динамики разгона. Разгон автомобиля

«Ускорение во время разгона определяют для случая движения автомобиля по горизонтальной дороге (i=0) с твердым покрытием хорошего качества при максимальном использовании мощности двигателя и отсутствия буксования ведущих колес. Ускорение находят из выражения (27):

$$J = \frac{(D - f) \cdot g}{\delta_{Bp}},\tag{27}$$

Откуда

$$\delta_{\rm Bp} = 1 + \frac{(I_{\rm m} \cdot \eta_{\rm Tp} \cdot U_{\rm Tp}^2 + I_{\rm k}) \cdot g}{G_{\rm a} \cdot r_{\rm k}^2}, \tag{28}$$

где  $I_m$  – момент инерции вращающихся частей двигателя, к $\Gamma$ м $^2$ ;

 $U_{\mbox{\tiny Tp}}$  — передаточное число трансмиссии;

 $I_k$  – суммарный момент инерции ведущих колес, к $\Gamma$ м<sup>2</sup>.

Если точное значение  $I_m$  и  $I_k$  неизвестно, то  $\delta_{\mbox{\scriptsize вр}}$  определяют по формуле:

$$\delta_{\rm BD} = 1 + \left(\delta_1 + \delta_2 \cdot U_{\rm k}^2\right),\tag{29}$$

где  $U_k$  – передаточное число коробки передач на данной передаче;

 $\delta_1$  — коэффициент учета вращающихся масс колес, принимаем равным 0,4;

 $\delta_2$  — коэффициент учета вращающихся масс двигателя, принимаем равным 0,4» [16].

Результаты расчетов ускорений J и обратных ускорений 1/J сведены в таблицу 6.

Таблица 6 – Ускорение и обратное ускорение на передачах

| ω <sub>в</sub> ,<br>c <sup>-1</sup> | У     | $e^2$ | Величина, обратная ускорению на<br>передаче, с <sup>2</sup> /м |       |       |       | ю на  |       |       |       |
|-------------------------------------|-------|-------|--|-------|-------|-------|-------|-------|-------|-------|
|                                     | 1     | 2     | 3  | 4     | 5     | 1     | 2     | 3     | 4     | 5     |
| 90                                  | 2,202 | 1,747 | 1,225  | 0,783 | 0,603 | 0,454 | 0,572 | 0,816 | 1,277 | 1,658 |
| 167                                 | 2,350 | 1,864 | 1,300  | 0,813 | 0,604 | 0,426 | 0,536 | 0,769 | 1,230 | 1,656 |
| 244                                 | 2,423 | 1,918 | 1,326  | 0,795 | 0,552 | 0,413 | 0,521 | 0,754 | 1,258 | 1,812 |
| 321                                 | 2,423 | 1,911 | 1,301  | 0,734 | 0,447 | 0,413 | 0,523 | 0,769 | 1,362 | 2,237 |
| 399                                 | 2,349 | 1,841 | 1,227  | 0,618 | 0,291 | 0,426 | 0,543 | 0,815 | 1,618 | 3,436 |

### Продолжение таблицы 6

| $c^{-1}$ | У     | $c^2$ | Вели  | ичина, об | ратная у<br>редаче, с | a     | ю на  |       |          |        |
|----------|-------|-------|-------|-----------|-----------------------|-------|-------|-------|----------|--------|
|          | 1     | 2.    | 3     | 4         | 5                     | 1     | 2     | 3     | 4        | 5      |
| 475      | 2,200 | 1,710 | 1,102 | 0,458     | 0,083                 | 0,455 | 0,585 | 0,907 | 2,183    | 12,048 |
| 552      | 1,978 | 1,516 | 0,927 | 0,251     | _                     | 0,506 | 0,660 | 1,079 | 3,984    | _      |
| 628      | 1,685 | 1,265 | 0,706 | 0         | _                     | 0,593 | 0,791 | 1,416 | $\infty$ | _      |

«Время и путь разгона автомобиля определяем графоаналитическим способом. Интегрирование заменяем суммой конечных величин.

$$\Delta t = \int_{V_1}^{V_2} \frac{1}{J} \cdot dv \approx \left(\frac{1}{J_{cp}}\right)_k \cdot (V_2 - V_1). \tag{30}$$

Кривая обратных ускорений разбивается на интервалы, принимаем, что в каждом интервале автомобиль разгоняется с постоянным ускорением J=const, которому соответствуют значения  $\left(\frac{1}{J_{cp}}\right)_{p} = \text{const}$ :

$$\left(\frac{1}{J_{cp}}\right)_{n} = \frac{\left(\frac{1}{J}\right)_{n-1} + \left(\frac{1}{J}\right)_{n}}{2}.$$
(31)

Аналогичным образом проводится графическое интегрирование зависимости t=f(V) для получения зависимости пути разгона S от скорости автомобиля.

Разбивается график времени разгона автомобиля на интервалы по времени, для каждого из которых находим соответствующие значения  $V_{cpk}$ .

Путь разгона автомобиля находим по формуле (32):

$$\Delta S_{k} = \frac{(V_{k} - V_{k-1})}{2} \cdot (t_{k} - t_{k-1}) = V_{cpk} \cdot \Delta t_{k} \times [16].$$
 (32)

Результаты расчетов приведены в таблице 7.

Таблица 7 – Значения времени и пути разгона автомобиля

| V, м/c | $1/J, c^2/M$ | $1/J_{cp}, c^2/M$ | t, c   | ΔЅ, м   | S, м    |
|--------|--------------|-------------------|--------|---------|---------|
| 0      | 0            | 0                 | 0      | 0       | 0       |
| 5,8    | 0,502        | 0,251             | 1,456  | 4,222   | 4,222   |
| 11,6   | 0,472        | 0,487             | 4,281  | 24,578  | 28,8    |
| 17,4   | 0,643        | 0,558             | 7,515  | 46,893  | 71,471  |
| 23,2   | 0,892        | 0,768             | 11,967 | 90,376  | 137,269 |
| 29     | 1,249        | 1,071             | 18,176 | 162,055 | 252,431 |
| 34,8   | 1,692        | 1,471             | 26,705 | 272,075 | 434,13  |
| 39     | 3,627        | 2,660             | 42,13  | 581,523 | 853,598 |

Графики времени и пути разгона автомобиля представлены на листе А1.

#### 2.6 Мощностной баланс автомобиля

«По аналогии с уравнением силового баланса записывается уравнение мощностного баланса:

$$N_{\rm T} = N_{\rm e} - N_{\rm Tp} = N_{\rm f} + N_{\rm m} + N_{\rm B} + N_{\rm w}, \tag{33}$$

где  $N_T$  – тяговая мощность, кВт;

 $N_{\text{тр}}$  – мощность, теряемая в агрегатах трансмиссии, кВт;

 $N_{\rm f}$  — мощность, затраченная на преодоление сил сопротивления качения колес, кВт;

 $N_{\pi}$  — мощность, затраченная на преодоление сил сопротивления подъему, кВт;

 $N_{\mbox{\tiny B}}$  — мощность, затраченная на преодоление сил сопротивления воздуха, кВт;

 $N_{\mbox{\tiny H}}$  — мощность, затраченная на преодоление сил сопротивления дороги, кВт.

$$N_{T} = N_{e} \cdot \eta_{TP}, \tag{34}$$

$$N_f = P_f \cdot V, \tag{35}$$

$$N_{\pi} = P_{\pi} \cdot V, \tag{36}$$

$$N_{R} = P_{R} \cdot V, \tag{37}$$

$$N_{\mu} = P_{\mu} \cdot V, \tag{38}$$

$$N_{\mathcal{A}} = P_{\mathcal{A}} \cdot V = N_f + N_{\pi}$$
 [16]. (39)

Результаты расчетов сводим в таблицу 8:

Таблица 8 – Значения затраченных мощностей

| V, м/c   | 5,57  | 10,34 | 15,10 | 19,87  | 24,64  | 29,40  | 34,17  | 38,88  |
|--|-------|-------|-------|--------|--------|--------|--------|--------|
|  |       |       |       |        |        |        |        |        |
| N <sub>e</sub> , кВт   | 11,69 | 23,12 | 34,84 | 45,89  | 55,30  | 62,11  | 65,36  | 64,13  |
| N <sub>T</sub> , кВт   | 10,29 | 20,35 | 30,66 | 40,38  | 48,66  | 54,66  | 57,52  | 56,43  |
| N <sub>в</sub> , кВт   | 0,121 | 0,775 | 2,414 | 5,501  | 10,491 | 17,821 | 27,978 | 41,216 |
| N <sub>Д</sub> , кВт   | 1,260 | 2,416 | 3,752 | 5,305  | 7,127  | 9,376  | 12,037 | 15,210 |
| $N_{\scriptscriptstyle B}$ + $N_{\scriptscriptstyle oldsymbol{\mathcal{I}}}, \kappa B$ т | 1,381 | 3,191 | 6,166 | 10,806 | 17,618 | 27,197 | 40,015 | 56,426 |
| $(N_{\scriptscriptstyle B} + N_{\scriptstyle I\hspace{1em}I})/N_{\scriptscriptstyle T}$  | 0,134 | 0,157 | 0,201 | 0,268  | 0,362  | 0,498  | 0,696  | 1,000  |

График мощностного баланса представлен на листе А1.

# 2.7 Топливно-экономическая характеристика двигателя

«Для получения топливно-экономической характеристики следует рассчитать расход топлива при движении автомобиля на высшей передаче по горизонтальной дороге с заданными постоянными скоростями от минимально устойчивой до максимальной.

Путевой расход топлива:

$$q_{\Pi} = \frac{K_{ck} \cdot K_{\Pi} \cdot (P_{\Pi} + P_{B}) \cdot q_{emin} \cdot 1,1}{36000 \cdot \rho_{T} \cdot \eta_{TP}},$$
(40)

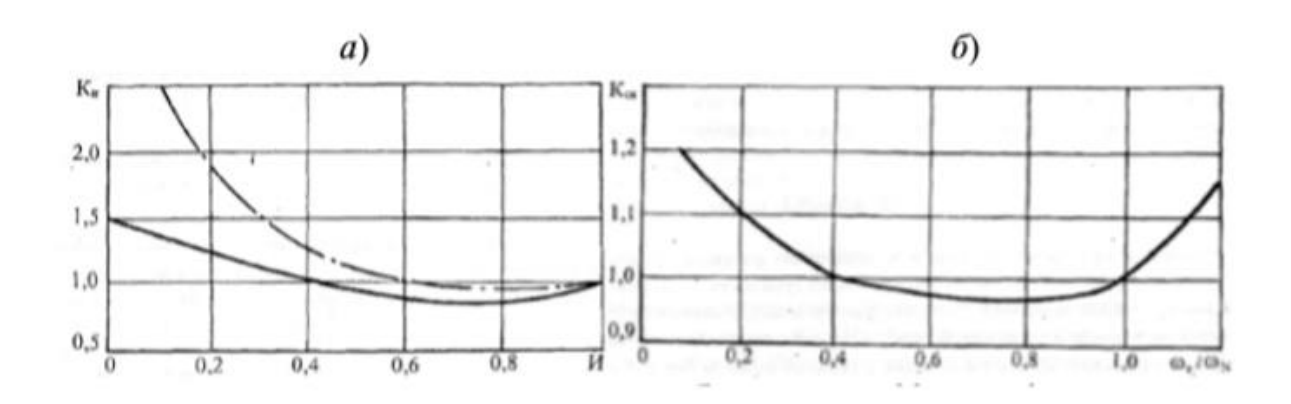
где  $K_{ck}$  — коэффициент, учитывающий соответственно изменения эффективного расхода топлива в зависимости от частоты вращения коленчатого вала двигателя;

 $K_{\rm u}$  — коэффициент, учитывающий соответственно изменения эффективного расхода топлива в зависимости от мощности двигателя;

 $q_{emin}$  — удельный эффективный расход топлива, равный 290 г/кВт·ч;  $\rho_{\scriptscriptstyle T}$  — плотность топлива.

Коэффициенты  $k_{\rm ck}$  и  $k_{\rm u}$  определяем по графикам на рисунке (10), на котором приведены примерные значения  $k_{\rm u}$ : штриховая линия характеризует изменение коэффициента для бензиновых двигателей, а сплошная — для дизелей. Кривая  $k_{\rm ck}$  относится к двигателям обоих типов.

Коэффициент  $k_{\rm H}$  определяем по значениям степени использования мощности двигателя  ${\rm H}$ , а  $k_{\rm ck}$  – по отношению угловых скоростей  $\frac{\omega_{\rm e}}{\omega_{\rm N}}$ » [16].



Зависимости: a — изменение коэффициента  $k_{u}$ ,  $\delta$  — изменение коэффициента  $k_{c\kappa}$ .

Рисунок 10 – Графики к расчету топливно-экономической характеристики

Рассчитанные данные запишем в таблицу 9.

Таблица 9 – Путевой расход топлива

| V, M/c | Ки  | И     | Кск  | qп, л/100км |
|--------|-----|-------|------|-------------|
| 6,96   | 2,5 | 0,134 | 1,14 | 10,29       |
| 12,92  | 2,2 | 0,157 | 1,11 | 12,06       |
| 18,88  | 1,9 | 0,201 | 1,07 | 14,36       |
| 24,84  | 1,6 | 0,268 | 1,01 | 16,13       |
| 30,80  | 1,4 | 0,362 | 0,95 | 18,22       |
| 36,76  | 1,2 | 0,498 | 0,95 | 20,76       |
| 42,71  | 0,9 | 0,696 | 0,98 | 20,73       |
| 48,60  | 1   | 1     | 1    | 29,54       |

В результате подраздела была получена топливно-экономическая характеристика автомобиля, которая представлена на листе А1, как и все остальные графики тягового расчета.

# 3 Конструкторская часть

# 3.1 Расчет параметров жесткости и демпфирования подвески легкового автомобиля

# 3.1.1 Исходные данные

| Снаряженная масса автомобиля, кг   |
|--|
| Процент массы автомобиля, приходящийся на переднюю ось, с загрузкой 3                |
| человека, % $\Delta_{\!F} = 53$  |
| Процент массы автомобиля, приходящийся на заднюю ось, с загрузкой 3                  |
| человека, % $\Delta_{ m R}=47$   |
| Величина неподрессоренной массы на переднее колесо, кг                               |
| Величина неподрессоренной массы на заднее колесо, кгm <sub>KR</sub> = 59             |
| Собственная частота колебаний передней подрессоренной массы, $\Gamma$ ц $f_F$ = 1,12 |
| Собственная частота колебаний задней подрессоренной массы, $\Gamma$ ц $f_R$ = 1,36   |
| Жесткость передней шины, Н/мм $C_{KF} = 210$   |
| Жесткость задней шины, $H/мм$  |
| Передаточное число передней пружины $i_{\Pi PF}$ = 1,903                             |
| Передаточное число задней пружины $i_{\Pi PR} = 1,01$                                |
| Коэффициент относительного демпфирования колебаний передней                          |
| подрессоренной массы $\psi_F = 0,5$  |
| Коэффициент относительного демпфирования колебаний задней                            |
| подрессоренной массы $\psi_R = 0,67$   |
| Градиент поперечного крена, град/м/с <sup>2</sup>                                    |
| Плечо поперечного крена, м $h_{\phi} = 0,6$  |
| Процент распределения угловой жесткости подвески на переднюю ось                     |
| автомобиля, % $\Delta_{\mathrm{C}\phi} = 62\%$                                       |
| Колея передней подвески, м $B_F = 1,466$   |
| Колея задней подвески, м $B_R = 1,456$   |

## 3.1.2 Расчет характеристик подвесок

Произведем расчет характеристик передней и задней подвесок, согласно методике, которая представлена ниже.

Для начала рассчитаем массу автомобиля с загрузкой 3 человека (водитель и два пассажира) по формуле (41), так как автомобиль чаще всего эксплуатируется именно с такой загрузкой:

где т<sub>0</sub> – снаряженная масса автомобиля;

 $m_{\scriptscriptstyle \rm H}$  – масса человека, равная 75 кг» [16].

$$m_A = 1465 + 3 \cdot 75 = 1690$$
 кг.

Далее рассчитаем массу автомобиля с загрузкой 3 человека, приходящуюся на переднюю ось:

где  $\Delta_F$  — процент массы автомобиля, приходящийся на переднюю ось, с загрузкой 3 человека» [14].

$$m_{AF} = 1690 \cdot \frac{53}{100} = 895,7 \text{ кг.}$$

Затем рассчитаем массу автомобиля с загрузкой 3 человека, приходящуюся на заднюю ось:

$$\ll m_{AR} = m_A \cdot \frac{\Delta_R}{100},\tag{43}$$

где  $\Delta_R$  — процент массы автомобиля, приходящийся на заднюю ось, с загрузкой 3 человека» [14].

$$m_{AR} = 1690 \cdot \frac{47}{100} = 794,3 \text{ кг.}$$

Тогда подрессоренная масса автомобиля с загрузкой 3 человека, приходящаяся на одно колесо передней оси будет равна:

$$\ll m_{AFP} = \frac{m_{AF}}{2} - m_{KF},$$
 (44)

где  $m_{KF}$  — величина неподрессоренной массы на переднее колесо, кг» [14].

$$m_{AFP} = \frac{895,7}{2} - 53,7 = 394,15$$
 кг.

В то время как подрессоренная масса автомобиля с загрузкой 3 человека, приходящаяся на одно колесо задней оси будет вычислена по формуле (45):

где  $m_{KR}$  – величина неподрессоренной массы на заднее колесо, кг» [14].

$$m_{ARP} = \frac{794,3}{2} - 59 = 338,15 \text{ кг.}$$

Вертикальную жесткость передней подвески на одно колесо с учетом жесткости шин рассчитаем по формуле (46):

где  $f_F$  — собственная частота колебаний передней подрессоренной массы,  $\Gamma$ ц» [21].

$$C_{F\Sigma} = \frac{(2 \cdot 3,14 \cdot 1,12)^2 \cdot 394,15}{1000} = 19,519 \ \Gamma$$
ц.

Аналогично предыдущему расчету, вычислим вертикальную жесткость задней подвески на одно колесо с учетом жесткости шин:

$$\ll C_{R\Sigma} = \frac{(2 \cdot \pi \cdot f_R)^2 \cdot m_{ARP}}{1000},\tag{47}$$

где  $f_R$  — собственная частота колебаний задней подрессоренной массы,  $\Gamma$ ц» [21].

$$C_{R\Sigma} = \frac{(2 \cdot 3,14 \cdot 1,36)^2 \cdot 338,15}{1000} = 24,691 \,\Gamma$$
ц.

Теперь рассчитаем вертикальную жесткость передней подвески на одно колесо без учета жесткости шин:

где  $C_{KF}$  – жесткость передней шины, Н/мм» [14].

$$C_F = \frac{210 \cdot 19,519}{210 - 19,519} = 21,519 \text{ H/MM}.$$

Вертикальная жесткость задней подвески на одно колесо без учета жесткости шин:

где  $C_{KR}$  – жесткость задней шины, Н/мм» [14].

$$C_R = \frac{210 \cdot 24,691}{210 - 24,691} = 27,981 \text{ H/MM}.$$

После этого, вычислим нагрузку на переднюю пружину по формуле (50):

где  $i_{\Pi PF}$  – передаточное число передней пружины» [22].

$$P_{\Pi PF} = 9.81 \cdot 394.15 \cdot 1.903 = 7358.162 \text{ H}.$$

Нагрузку на заднюю пружину находим аналогично расчету нагрузки на переднюю пружину:

где  $i_{\Pi PR}$  — передаточное число задней пружины» [22].

$$P_{\Pi PR} = 9.81 \cdot 338.15 \cdot 1.01 = 3350.424 \text{ H}.$$

Имея необходимые данные, теперь мы можем рассчитать жесткости передней и задней пружин по формулам (52) и (53) соответственно.

$$C_{\Pi PF} = C_F \cdot i_{\Pi PF}^2 = 21,519 \cdot 1,903^2 = 77,929 \text{ H/mm},$$
 (52)

$$C_{\Pi PR} = C_R \cdot i_{\Pi PR}^2 = 27,981 \cdot 1,01^2 = 28,543 \text{ H/mm}.$$
 (53)

Следом рассчитаем коэффициент сопротивления переднего амортизатора, приведенный к центру колеса:

где  $\psi_F$  — коэффициент относительного демпфирования колебаний передней подрессоренной массы» [23].

$$K_F = 2 \cdot 0.5 \cdot \sqrt{1000 \cdot 21.519 \cdot 394.15} = 2912.338 \text{ Hc/m}.$$

А также коэффициент сопротивления заднего амортизатора, приведенный к центру колеса:

где  $\psi_R$  — коэффициент относительного демпфирования колебаний задней подрессоренной массы» [23].

$$K_R = 2 \cdot 0.67 \cdot \sqrt{1000 \cdot 27.981 \cdot 338.15} = 4121.840 \text{ Hc/m}.$$

Наконец узнаем коэффициенты относительного демпфирования колебаний переднего и заднего колес с помощью формул (56) и (57) соответственно:

$$\psi_{FK} = \frac{K_F}{2 \cdot \sqrt{1000 \cdot m_{KF} \cdot (C_{KF} + C_F)}} =$$

$$= \frac{2912,338}{2 \cdot \sqrt{1000 \cdot 53,7 \cdot (210 + 21,519)}} = 0,413,$$

$$K_{-}$$
(56)

$$\psi_{RK} = \frac{K_R}{2 \cdot \sqrt{1000 \cdot m_{KR} \cdot (C_{KR} + C_R)}} =$$

$$= \frac{4121,840}{2 \cdot \sqrt{1000 \cdot 59 \cdot (210 + 27,981)}} = 0,550.$$
(57)

Найдем требуемую суммарную угловую жесткость подвески с учетом жесткости шин согласно формуле (58):

где  $h_{\varphi}$  – плечо поперечного крена, м;

 $\frac{\varphi}{i_V}$  – градиент поперечного крена, град/м/с<sup>2</sup>» [24].

$$C_{\varphi\Sigma} = 2 \cdot (394,15 + 338,15) \cdot 0,6 \cdot \left(\frac{180}{0,6 \cdot 3,14} + 9,81\right) = 92578,597 \ \mathrm{HM/paд}.$$

Тогда требуемая угловая жесткость передней подвески с учетом жесткости шин составит:

$$(C_{\varphi F \Sigma} = C_{\varphi \Sigma} \cdot \frac{\Delta_{C \varphi}}{100},$$
 (59)

где  $\Delta_{C\phi}$  — процент распределения угловой жесткости подвески на переднюю ось» [14].

$$C_{\varphi F \Sigma} = 92578,597 \cdot \frac{62}{100} = 57398,730 \text{ Нм/рад.}$$

Несложно догадаться, что требуемая угловая жесткость задней подвески с учетом жесткости шин получится равной:

$$C_{\varphi R \Sigma} = C_{\varphi \Sigma} - C_{\varphi F \Sigma} = 92578,597 - 57398,730 = 35179,867$$
 Нм/рад. (60)

Далее посчитаем угловую жесткость передней подвески за счет жесткости шин по формуле (61):

$$^{\mathsf{c}}C_{\varphi FK} = 500 \cdot C_{KF} \cdot B_F^2,$$
 (61)

где B<sub>F</sub> – колея передней подвески» [14].

$$C_{\varphi FK} = 500 \cdot 210 \cdot 1,466^2 = 225661,38 \, \mathrm{Hm/pag}.$$

Аналогично прошлому, вычислим угловую жесткость задней подвески за счет жесткости шин по формуле (62):

$$^{\mathsf{\alpha}} \mathbf{C}_{\varphi RK} = 500 \cdot C_{KR} \cdot B_R^2,$$
 (62)

где B<sub>R</sub> – колея задней подвески» [14].

$$C_{\varphi RK} = 500 \cdot 210 \cdot 1,456^2 = 222593,28 \, \mathrm{Hm/pag}.$$

Требуемая угловая жесткость передней и задней подвесок без учета жесткости шин (по центрам колес) равна соответственно:

$$C_{\varphi F} = \frac{C_{\varphi FK} \cdot C_{\varphi F\Sigma}}{C_{\varphi FK} - C_{\varphi F\Sigma}} = \frac{225661,38 \cdot 57398,730}{225661,38 - 57398,730} = 76978,917 \text{ Hм/рад,} \quad (63)$$

$$C_{\varphi R} = \frac{C_{\varphi RK} \cdot C_{\varphi R\Sigma}}{C_{\varphi RK} - C_{\varphi R\Sigma}} = \frac{222593,28 \cdot 35179,867}{222593,28 - 35179,867} = 41783,573 \text{ Нм/рад.} \quad (64)$$

Угловую жесткость передней и задней подвесок без учета жесткости шин (по центрам колес) за счет жесткости пружин вычислим по формулам (65) и (66) соответственно:

$$C_{\varphi F\Pi P} = 500 \cdot C_F \cdot B_F^2 = 500 \cdot 21,519 \cdot 1,466^2 = 23123,844 \,\text{Hm/рад,}$$
 (65)

$$C_{\varphi R\Pi P} = 500 \cdot C_R \cdot B_R^2 = 500 \cdot 27,981 \cdot 1,456^2 = 29658,965 \text{ Нм/рад.}$$
 (66)

И, наконец, произведем расчет требуемой угловой жесткости передней и задней подвесок без учета жесткости шин (по центрам колес) за счет жесткости переднего/заднего стабилизатора поперечной устойчивости.

$$C_{\varphi FCT} = C_{\varphi F} - C_{\varphi F\Pi P} = 76978,917 - 23123,844 = 53855,073 \, \mathrm{Hm/pag}, \ (67)$$

$$C_{\varphi R \text{CT}} = C_{\varphi R} - C_{\varphi R \Pi P} = 41783,573 - 29658,965 = 12124,608 \text{ Нм/рад.} (68)$$

# 3.2 Расчет переднего стабилизатора поперечной устойчивости

На автомобиле LADA Niva Travel применяется передний стабилизатор поперечной устойчивости типа 2, значит расчет жесткости штанги стабилизатора следует производить по формуле (69):

где d – диаметр прутка штанги стабилизатора;

 $l_i$  – размеры длин, необходимых для расчета, определяются согласно рисунку (11) » [13].

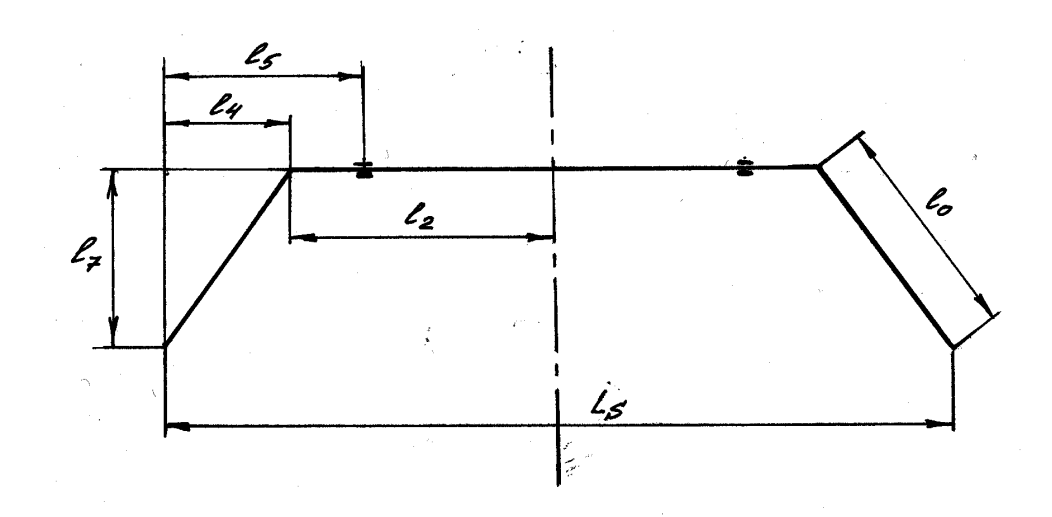


Рисунок 11 — Общая расчетная схема стабилизатора поперечной устойчивости типа 2

Под жесткостью стабилизатора в конкретном случае следует понимать отношение усилий на конце стабилизатора к его перемещению при условии одновременно-разноименного хода подвески автомобиля.

На рисунке 12 приведена расчетная схема для переднего стабилизатора поперечной устойчивости легкового автомобиля LADA Niva Travel с замерами всех необходимых числовых значений длин для расчета. За конечные точки принимаются точки крепления штанги стабилизатора к шарнирам стоек стабилизатора.

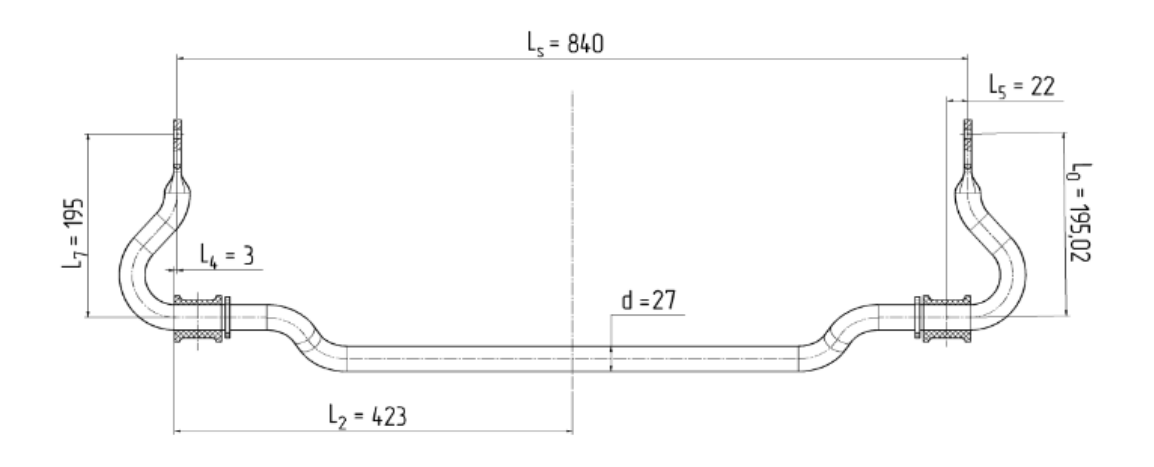


Рисунок 12 — Расчетная схема для стабилизатора поперечной устойчивости LADA Niva Travel

Теперь, зная все необходимые параметры для расчета, подставим их в формулу и найдем жесткость штанги стабилизатора.

$$c = \frac{27^4 \cdot 6,18 \cdot 10^4}{2 \cdot 195,02^3 + 22^2 \cdot 840 + 7,78 \cdot 423 \cdot 195^2 + 2 \cdot 3^3} = 233,960 \text{ H/mm}.$$

В результате расчета получаем жесткость штанги переднего стабилизатора равную 233,960 Н/мм.

## 3.3 Расчет пружины передней подвески

В ходе расчета определяются параметры пружины, которые должны гарантировать требуемую жесткость, статическую нагрузку, а также необходимую долговечность пружины. Кроме этого, следует учитывать компоновочные ограничения.

### 3.3.1 Исходные данные

| Модуль сдвига материала пружины, МПа                  | = 80500            |
|---|--------------------|
| Внутренний диаметр пружины, мм                        | $O_{\rm BH} = 90$  |
| Диаметр проволоки, мм $d_{\Gamma}$                    | $_{\rm IP} = 16,5$ |
| Полное число витков                                   | $a_1 = 8,08$       |
| Рабочее число витков                                  | n = 6,75           |
| Желаемая длина пружины в первой контрольной точке, мм | $L_{1i} = 217$     |
| Нагрузка в первой контрольной точке, НР               | $_{1} = 7254$      |
| Длина пружины во второй контрольной точке, мм         | $L_2 = 170$        |
| Плотность стали материала пружины, кг/м <sup>3</sup>  | 0 = 7600           |

## 3.3.2 Расчет характеристик пружины передней подвески

Первым делом определим средний диаметр пружины по формуле (70):

$$D_{\rm CP} = D_{\rm BH} + d_{\rm \Pi P} = 90 + 16,5 = 106,5 \,\mathrm{MM}.$$
 (70)

Наружный диаметр пружины определим для проверки подвески на компонуемость:

$$D_{\text{HAP}} = D_{\text{BH}} + 2 \cdot d_{\Pi P} = 90 + 2 \cdot 16,5 = 123 \text{ MM}.$$
 (71)

Далее определим жесткость пружины согласно формуле (72):

$$c = \frac{G \cdot d_{\Pi P}^4}{8 \cdot n \cdot D_{CP}^3} = \frac{80500 \cdot 16,5^2}{8 \cdot 6,75 \cdot 106,5^3} = 91,47 \text{ H/MM}.$$
 (72)

Затем вычислим податливость пружины:

$$s = \frac{1}{c} = \frac{1}{91.47} = 0.01093 \text{ mm/H}.$$
 (73)

Жесткость одного витка пружины согласно формулы (74) составит:

$$c_1 = c \cdot n = 91,47 \cdot 6,75 = 617,4 \text{ H/mm}.$$
 (74)

В свою очередь, податливость одного витка пружины примет величину равную:

$$s_1 = \frac{s}{n} = \frac{0,01093}{6,75} = 0,00161 \text{ mm/H}.$$
 (75)

Найдем свободную длину пружины:

$$L_0 = L_{1i} + \frac{P_1}{C} = 217 + \frac{7254}{91.47} = 296,3 \text{ MM}.$$
 (76)

Длина пружины в первой контрольной точке, что соответствует положению подвески в конструктивном состоянии, определяется по формуле (77):

$$L_1 = L_0 - \frac{P_1}{c} = 296.3 - \frac{7254}{91.47} = 216.6 \text{ mm}.$$
 (77)

Длина же пружины в третьей контрольной точке, соответствующей пружине, сжатой до соприкосновения витков, рассчитывается по формуле (78):

$$L_3 = (n_1 + 1) \cdot (d_{\Pi P} + 0.25) + d_{\Pi P} \cdot 0.05 =$$
  
=  $(8.08 + 1) \cdot (16.5 + 0.25) + 16.5 \cdot 0.05 = 152.9 \text{ mm}.$  (78)

Теперь определим межвитковый зазор в свободной пружине, в первой контрольной точке и во второй контрольной точке по формулам (79), (80) и (81) соответственно, чтобы убедиться, что при работе пружины в составе подвески не будет соударения ее витков.

$$\delta_0 = \frac{L_0 - L_3}{n} = \frac{296,3 - 152,9}{6,75} = 21,2 \text{ MM}, \tag{79}$$

$$\delta_1 = \frac{L_1 - L_3}{n} = \frac{216.6 - 152.9}{6.75} = 9.4 \text{ mm}, \tag{80}$$

$$\delta_2 = \frac{L_2 - L_3}{n} = \frac{170 - 152,9}{6,75} = 2,5 \text{ MM}. \tag{81}$$

Как мы можем наблюдать, необходимый межвитковый зазор обеспечивается.

Определим форм-фактор пружины для дальнейшего расчета концентрации напряжений сдвига на внутренней поверхности витка пружины от кручения и действия поперечной силы:

$$W = 1 + \frac{5}{4} \cdot \frac{d_{\Pi P}}{D_{CP}} + \frac{7}{8} \cdot \left(\frac{d_{\Pi P}}{D_{CP}}\right)^{2} + \left(\frac{d_{\Pi P}}{D_{CP}}\right)^{3} =$$

$$= 1 + \frac{5}{4} \cdot \frac{16,5}{106,5} + \frac{7}{8} \cdot \left(\frac{16,5}{106,5}\right)^{2} + \left(\frac{16,5}{106,5}\right)^{3} = 1,218,$$
(82)

Вычислим нагрузку во второй контрольной точке (при полном динамическом ходе) по формуле (83):

$$P_2 = (L_0 - L_2) \cdot c = (296.3 - 170) \cdot 91.47 = 11553.1 \text{ H.}$$
 (83)

Аналогично найдем нагрузку в третьей контрольной точке:

$$P_3 = (L_0 - L_3) \cdot c = (296.3 - 152.9) \cdot 91.47 = 13115.8 \text{ H}.$$
 (84)

Теперь у нас достаточно данных для того, чтобы определить касательные напряжения в первой, второй и третьей контрольных точках:

$$\tau_1 = \frac{8 \cdot W \cdot D_{\text{CP}}}{\pi \cdot d_{\text{\PiP}}^3} \cdot P_1 = \frac{8 \cdot 1,218 \cdot 106,5}{3,14 \cdot 16,5^3} \cdot 7254 = 533,4 \text{ M}\Pi a, \tag{85}$$

$$\tau_2 = \frac{8 \cdot W \cdot D_{\text{CP}}}{\pi \cdot d_{\text{\PiP}}^3} \cdot P_2 = \frac{8 \cdot 1,218 \cdot 106,5}{3,14 \cdot 16,5^3} \cdot 11553,1 = 849,541 \text{ M}\Pi\text{a}, \tag{86}$$

$$\tau_3 = \frac{8 \cdot W \cdot D_{\text{CP}}}{\pi \cdot d_{\text{\PiP}}^3} \cdot P_3 = \frac{8 \cdot 1,218 \cdot 106,5}{3,14 \cdot 16,5^3} \cdot 13115,8 = 964,4 \text{ M}\Pi \text{a}.$$
 (87)

Предельное допускаемое расчетное напряжение  $\tau$  для пружин холодной навивки достигает 1200 МПа и выше, соответственно, можно сделать вывод, что касательные напряжения в данной пружине не превышают предельные.

Так как при производстве пружин проволоку следует нарезать в необходимый размер, произведем расчет необходимой длины проволоки для изготовления одной пружины:

$$l_{\Pi P} = \sqrt{(n \cdot \pi \cdot D_{CP})^2 + L_0^2} + (n_1 - n) \cdot \pi \cdot D_{CP} =$$

$$= \sqrt{(6,75 \cdot 3,14 \cdot 106,5)^2 + 296,3^2} + (8,08 - 6,75) \cdot 3,14 \cdot 106,5 =$$

$$= 2721,4 \text{ MM}. \tag{88}$$

Одним из не менее важных параметров любой детали в автомобиле является масса, вычислим массу пружины по формуле (89):

$$m = \frac{\pi \cdot d_{\Pi P}^2}{4} \cdot l_{\Pi P} \cdot \rho = \frac{3.14 \cdot (16.5 \cdot 10^{-3})^2}{4} \cdot (2721.4 \cdot 10^{-3}) \cdot 7600 =$$

$$= 4.42 \text{ Kr.}$$
(89)

Таким образом, масса пружины холодной навивки нового образца составит 4,42 кг.

Выводы по разделу.

В разделе вычислены параметры жесткости и демпфирования модернизированной подвески, произведен расчет переднего стабилизатора поперечной устойчивости новой геометрии, а также расчет измененной пружины передней подвески.

## 4 Технологическая часть

Технологический процесс сборки автомобилей — это комплекс операций, направленных на объединение различных компонентов и узлов в единое целое, что позволяет создать готовое транспортное средство. Этот сложный и многоступенчатый процесс требует должной квалификации работников, точного соблюдения технологий и стандартов качества. Эффективная организация сборки позволяет не только повысить качество готовой продукции, но и сократить время производства, что является важным фактором в условиях конкурентного рынка автомобильной промышленности.

### 4.1 Анализ технологичности конструкции передней подвески

Конструктив проектируемой передней подвески легкового автомобиля LADA Niva Travel отличается от серийного большим количеством входящих деталей и другим местом их расположения, что, в свою очередь, усложняет технологию сборки и увеличивает временные затраты на сборку.

### 4.2 Разработка технологической схемы сборки передней подвески

Технологическая схема сборки помогает визуализировать все операции, необходимые для сборки, оптимизировать процесс сборки, определить последовательность операций.

Произведем разработку технологической схемы сборки рычага передней подвески нижнего с чашкой и шарнирами. Определим последовательность сборки складывающегося верха путем разложения сборки на узловую и общую. Технологическую схему сборки вы можете наблюдать на чертеже «Схема сборки рычага передней подвески нижнего с чашкой и шарнирами левого в сборе».

### 4.3 Составление перечня сборочных работ

Разработка перечня сборочных работ — это важный этап в организации производственного процесса. Он помогает структурировать задачи и обеспечить последовательность операций для достижения качественного результата.

Перечень представлен в виде таблицы, в которой содержатся наименования сборочных работ и данные по нормированию всех необходимых видов работ. Причем все операции расположены строго в том порядке, который определен технологическими схемами сборки для узловой и общей сборок. Все эти операции, которые достаточно разнообразны и которые можно определить только для конкретных условий сборки, разделяются на:

- сборочные,
- регулировочные,
- контрольные,
- ремонтные (при необходимости).

Перечень сборочных работ по сборке модернизированного рычага передней подвески нижнего с чашкой и шарнирами в сборе представлен в таблице 10.

Таблица 10 – Перечень сборочных работ

| № оп | Наименование операции и содержание  | Норма                  |
|------|---|------------------------|
|      |   | времени на             |
|      |   | операцию               |
|      |   | $t_{\text{оп}}$ , мин. |
| 1    | 2   | 3                      |
|      | 1. Сборка рычага передней подвески нижнего левого в сборе   |                        |
| 1    | Сборочная: установить в приспособление рычаг передней подвески нижний передний левый 21214-2904025 и рычаг передней подвески нижний задний левый 21214-2904029 и зафиксировать. Произвести сварку рычагов ручной дуговой сваркой. | 1,5                    |
|      | Итого:  | 1,5                    |

# Продолжение таблицы 10

| № оп    | Наименование операции и содержание                             | Норма                  |
|---------|--|------------------------|
| J\2 011 | паименование операции и содержание                             | времени на             |
|         |  | операцию               |
|         |  | $t_{\text{оп}}$ , мин. |
| 1       | 2.   | 3                      |
| 1       | 2. Сборка чашки опорной пружины передней подвески левой в с    |                        |
| 1       | Сборочная: установить в приспособление чашку опорную           | 1,5                    |
| 1       | пружины передней подвески левую 2121-2902737 и                 | 1,5                    |
|         | зафиксировать, установить кронштейн крепления амортизатора     |                        |
|         | нижний и зафиксировать.  |                        |
|         | Произвести сварку точечной сваркой (14 точек).                 |                        |
|         | Итого:   | 1,5                    |
| 3 C6    | борка рычага передней подвески нижнего с чашкой и шарнирами ле |                        |
| 1       | Сборочная: установить в оснастку рычаг передней подвески       | 0,4                    |
| -       | нижний левый в сборе 21214-2904021 и запрессовать в рычаг два  | 0,1                    |
|         | шарнира нижних рычага передней подвески 21214-2904040 до       |                        |
|         | упора.   |                        |
| 2       | Сборочная: установить в приспособление стенда четыре болта     | 1,5                    |
| _       | 1/13438/30, рычаг в сборе с операции 1, предварительно         | 1,0                    |
|         | совместив его два отверстия с двумя отверстиями кронштейна     |                        |
|         | стойки стабилизатора левого 25.ДП.01.103.2123-2904177, две     |                        |
|         | шайбы 2101-2904228 на болты, не сопрягающиеся с                |                        |
|         | кронштейном стойки стабилизатора и чашку опорную пружины       |                        |
|         | передней подвески левую в сборе 25.ДП.01.103.2123-2902735,     |                        |
|         | четыре шайбы пружинные 1/05168/70                              |                        |
|         | Наживить и завернуть тарированным моментом четыре гайки        |                        |
|         | 1/21647/21.  |                        |
| 3       | Сборочная: установить в оснастку стола два болта 2121-         | 0,9                    |
|         | 2904194, один болт 1/60440/30, палец шаровой передней          |                        |
|         | подвески нижний с защитным чехлом 21214-2904082-02, рычаг      |                        |
|         | передней подвески нижний левый в сборе с операции 2, три       |                        |
|         | шайбы пружинные 1/05166/70.                                    |                        |
|         | Наживить и завернуть тарированным моментом три гайки           |                        |
|         | 1/61008/21.  |                        |
| 4       | Контрольная: произвести контроль согласно карте контроля.      | 0,2                    |
|         | Итого:   | 3                      |
|         | Всего:   | 6                      |

Основываясь на данных перечня сборочных работ, определим трудоемкость сборки переднего нижнего рычага и разработаем технологический процесс сборки, который в дальнейшем будет направлен в производство.

## 4.4 Определение трудоемкости сборки передней подвески

Для начала определим общее время всех операций по сборке переднего нижнего рычага как сумму времен отдельных входящих операций:

$$t_{\text{общ}} = \sum t_{\text{оп}} = 1.5 + 1.5 + 3 = 6.$$
 (90)

Теперь вычислим суммарную трудоемкость сборки переднего нижнего рычага легкового автомобиля LADA Niva Travel по формуле (91):

где α – процентная доля от нормы времени на операцию, выделяемая на организационно-техническое обслуживания рабочего поста, равная 2%;

β – процентная доля от нормы времени на операцию, предназначенная для отдыха рабочего, равная 4%» [18].

$$t_{\text{шт}}^{\text{общ}} = 6 + 6 \cdot \left(\frac{2+4}{100}\right) = 6,36 \text{ (мин)}.$$

«Тип производства при сборке определяем по таблице в зависимости от годового выпуска автомобилей и ориентировочной определенной суммарной трудоемкости сборки подвески. Принимаем крупносерийное производство.

Определим такт выпуска автомобилей:

$$T_{\rm B} = \frac{F_{\rm A} \cdot 60 \cdot m}{N},\tag{92}$$

где  $F_{\text{д}}$  – действительный годовой фонд рабочего времени сборочного оборудования в одну смену, принимается равным 4015 ч. для

т – количество смен, принимается равным 1;

N – годовой объем выпуска автомобилей, принимается равным 50000 штук» [18].

$$T_{\rm B} = \frac{4015 \cdot 60 \cdot 1}{50000} = 4,82$$
 (мин).

«Учитывая конструкцию подвески, ее размеры и массу, объем выпуска, сроки (длительность) выпуска и тип производства принимаем как организационную форму сборки подвижную поточную сборку с расчленением процесса на операции и передачей собираемого объекта от одной позиции к другой посредством механических транспортирующих устройств» [18].

Маршрутная карта представлена в таблице 11.

Таблица 11 — Технологический процесс сборки модернизированной передней подвески легкового автомобиля Lada Niva Travel

| No | Наименование | No    | Состав операции, перехода                 | Наименование   |
|----|--------------|-------|---|----------------|
| ОΠ | оп           | поз   |   | оборудования,  |
|    |              |       |   | наименование   |
|    |              |       |   | тех. оснастки  |
| 1  | 2            | 3     | 4   | 5              |
|    | 1. Сбор      | ка ры | чага передней подвески нижнего левого в о | сборе          |
| 1  | Сборочная    | 1     | Установить в приспособление рычаг         | Приспособление |
|    |              |       | передней подвески нижний передний         | для сварки,    |
|    |              |       | левый 21214-2904025.                      | сварочное      |
|    |              | 2     | Установить в приспособление рычаг         | оборудование   |
|    |              |       | передней подвески нижний задний           |                |
|    |              |       | левый 21214-2904029.                      |                |
|    |              | 3     | Зафиксировать рычаги в                    |                |
|    |              |       | приспособлении.                           |                |
|    |              | 4     | Произвести сварку рычагов ручной          |                |
|    |              |       | дуговой сваркой.                          |                |
|    | 2. Сборка ч  | ашки  | опорной пружины передней подвески лево    | рй в сборе     |
| 1  | Сборочная    | 1     | Установить в приспособление чашку         | Приспособление |
|    |              |       | опорную пружины передней подвески         | для сварки,    |
|    |              |       | левую 2121-2902737 и зафиксировать.       | сварочное      |
|    |              | 2     | Установить кронштейн крепления            | оборудование   |
|    |              |       | амортизатора нижний и зафиксировать.      |                |
|    |              | 3     | Произвести сварку точечной сваркой (14    |                |
|    |              |       | точек).                                   |                |

Продолжение таблицы 11

| $N_{\underline{0}}$ | Наименование   | $N_{\underline{0}}$ | Состав операции, перехода   | Наименование                       |
|---------------------|----------------|---------------------|---|------------------------------------|
| ОΠ                  | оп             | поз                 | 1 1 2 1   | оборудования,                      |
|                     |                |                     |   | наименование                       |
|                     |                |                     |   | тех. оснастки                      |
| 1                   | 2              | 3                   | 4   | 5                                  |
|                     | 3. Сборка рыча | га пер              | редней подвески нижнего с чашкой и шарни                            | ирами в сборе                      |
| 1                   | Сборочная      | 1                   | Установить в оснастку рычаг передней                                | Сборочный стенд                    |
|                     |                |                     | подвески нижний в сборе 21214-2904021                               | с двуручным                        |
|                     |                | 2                   | Запрессовать в рычаг два шарнира                                    | управлением                        |
|                     |                |                     | 21214-2904040 до упора.   |                                    |
| 2                   | Сборочная      | 1                   | Установить в приспособление стенда                                  | Сборочный                          |
|                     |                |                     | четыре болта 1/13438/30.  | двухпозиционный                    |
|                     |                | 2                   | Установить рычаг в сборе с операции 1,                              | стенд,                             |
|                     |                |                     | предварительно совместив его два                                    | пневмогайковерт,                   |
|                     |                |                     | отверстия с двумя отверстиями                                       | удлинитель,                        |
|                     |                |                     | кронштейна стойки стабилизатора                                     | головка S=17 мм,                   |
|                     |                |                     | левого 25.ДП.01.103.2123-2904177.                                   | ключ предельный                    |
|                     |                | 3                   | Установить две шайбы 2101-2904228 на                                |                                    |
|                     |                |                     | болты, не сопрягающиеся с   |                                    |
|                     |                |                     | кронштейном стойки стабилизатора.                                   |                                    |
|                     |                | 4                   | Установить чашку опорную пружины                                    |                                    |
|                     |                |                     | передней подвески в сборе левую                                     |                                    |
|                     |                |                     | 25.ДП.01.103.2123-2902735.  |                                    |
|                     |                | 5                   | Установить четыре шайбы 1/05168/70.                                 |                                    |
|                     |                | 6                   | Наживить четыре гайки 1/21647/21 и                                  |                                    |
|                     |                |                     | завернуть тарированным моментом.                                    |                                    |
| 3                   | Сборочная      | 1                   | Установить в оснастку стола два болта 2121-2904194.                 | Стол с оснасткой, головка S=13 мм, |
|                     |                | 2                   | Установить в оснастку стола один болт 1/60440/30.                   | молоток,<br>пневмогайковерт        |
|                     |                | 3                   | Установить палец шаровой нижний с защитным чехлом 21214-2904082-02. | 1                                  |
|                     |                | 4                   | Установить рычаг передней подвески                                  |                                    |
|                     |                | -                   | нижний левый в сборе с операции 2.                                  |                                    |
|                     |                | 5                   | Установить три шайбы1/05166/70.                                     |                                    |
|                     |                | 6                   | Наживить и завернуть тарированным                                   |                                    |
|                     |                |                     | моментом три гайки 1/61008/21.                                      |                                    |
| 4                   | Контрольная    | 1                   | Произвести контроль согласно карте                                  | Карта контроля                     |
|                     |                |                     | контроля.   |                                    |

В результате выполнения технологической части разработана технологическая схема сборки модернизированной передней подвески LADA Niva Travel, составлен перечень необходимых сборочных работ, определена трудоемкость сборки и спроектирован технологический процесс сборки.

#### 5 Безопасность и экологичность проекта

В современном мире вопросы безопасности и экологичности проектов становятся все более актуальными и важными. С учетом стремительного развития технологий и увеличения масштабов производственной деятельности, необходимость соблюдения стандартов безопасности и охраны окружающей среды выходит на первый план. Устойчивое развитие, которое включает в себя сочетание экономических, социальных и экологических аспектов, требует от организаций не только соблюдения законодательных норм, но и внедрения новых подходов к управлению рисками и воздействием на природу.

Глава, посвященная безопасности и экологичности проекта, рассматривает ключевые принципы и методы, которые необходимо учитывать на всех этапах проектирования и реализации. В ней будет проанализировано проведение оценки рисков, соблюдение стандартов безопасности, обучение персонала.

Таким образом, интеграция принципов безопасности и экологичности в проект не только способствует защите здоровья работников и окружающей среды, но и может повысить репутацию компании и снизить риски. Это создает устойчивую основу для успешной реализации проекта и способствует его долгосрочной жизнеспособности.

# 5.1 Описание рабочего места, оборудования и выполняемых технологических операций

«Сборку модернизированной передней подвески предполагается разместить на территории производства шасси АО «АВТОВАЗ» г. Тольятти. Сборочный участок представляет собой поточную линию с подвесным конвейером и сборочными стендами.

Элементы конструкции подвески в виде подсобранных ранее узлов доставляются к месту сборки по подвесному конвейеру, прочие детали и метиз подвозятся к участку сборки в контейнерах тележками с электродвигателями.

Готовая продукция отправляется для выполнения последующих сборочных операций посредством подвесного конвейера.

Спецификация оборудования, инструментов для производственного участка представлена в таблице 12» [6].

Таблица 12 – Перечень наименования оборудования, технической оснастки и вспомогательных материалов

| Технологический   | Должность      | Наименование оборудования,   | Вспомогательные     |
|---|----------------|--|---------------------|
| процесс   | работника      | наименование тех. оснастки   | материалы           |
| Сборка рычага передней подвески нижнего с чашкой и шарнирами в сборе                | Слесарь<br>МСР | Сборочный стенд с двуручным управлением, сборочный двухпозиционный стенд, пневмогайковерт, удлинитель, головка S=17 мм, ключ предельный, стол с оснасткой, головка S=13 мм, молоток  | Перчатки<br>вязаные |
| Сборка поперечины передней подвески с рычагами, тормозами и передним мостом в сборе | Слесарь<br>МСР | Сборочный стенд с двуручным управлением, кран-балка, траверса, пневмогайковерт, удлинитель, головка S=27 мм, ключ предельный, молоток бронзовый, головка S=19 мм, ключ рожковый S=19 мм, молоток капроновый, клещи для обжатия, приспособление для фиксации ступицы, стойка измерительная, эталон для настройки стенда, ключ Т-образный, приспособление фиксирующее, молоток, стойка для транспортировки передней подвески | Перчатки<br>вязаные |
| Сборка<br>поперечины  | Слесарь<br>МСР | Кран-балка, стенд сборочный, захватное устройство,   | Перчатки<br>вязаные |
| передней подвески с амортизаторами и пружинами в сборе                              |                | пневмогайковерт, ключ рожковый S=13 мм, ключ предельный, ключ рожковый S=17 мм, головка S=17 мм, электрогайковерт, головка S=6 мм, траверса  | DASAIDIC            |

На основе данных таблицы 12 будут выявлены опасные и вредные производственные факторы для специальности слесарь МСР производства шасси.

# **5.1.1** Идентификация опасных и вредных производственных факторов

Произведем анализ опасных и вредных производственных факторов, которые возникают или могут возникнуть при сборке передней подвески легкового автомобиля LADA Niva Travel. «При этом анализируются источники механических травм; источники шума, вибрации, ионизирующих излучений; определяются условия микроклимата в помещениях; оценивается освещенность в помещениях и на конкретном рабочем месте; определяется возможность получения электротравмы; исследуется токсичность применяемых веществ; проводится оценка пожаро- и взрывоопасности объекта; определяется возможность использования грузоподъемных машин и механизмов, а также сосудов, находящихся под давлением» [15]. Представим их в таблице 13.

Таблица 13 – Перечень результатов анализа профессиональных рисков

| Рабочее<br>место | Группа ОВПФ<br>по ГОСТ<br>12.0.003–2015 | Наименование ОВПФ                   | Источник ОВПФ      |
|------------------|---|-------------------------------------|--------------------|
| 1                | 2                                       | 3                                   | 4                  |
| Слесарь          | Факторы,                                | «Опасные и вредные                  | Контейнеры с       |
| MCP              | обладающие                              | производственные факторы,           | деталями, детали и |
|                  | свойствами                              | связанные с силами и энергией       | собираемые узлы    |
|                  | физического                             | механического движения, в том числе |                    |
|                  | воздействия                             | в поле тяжести: действие силы       |                    |
|                  |   | тяжести в тех случаях, когда оно    |                    |
|                  |   | может вызвать падение твердых,      |                    |
|                  |   | сыпучих, жидких объектов на         |                    |
|                  |   | работающего» [7]                    |                    |

# Продолжение таблицы 13

| Рабочее<br>место | Группа ОВПФ<br>по ГОСТ<br>12.0.003–2015                | Наименование ОВПФ  | Источник ОВПФ   |
|------------------|--|--|---|
| 1                | 2  | 3  | 4   |
| Слесарь<br>МСР   | Факторы, обладающие свойствами физического воздействия | «Неподвижные режущие, колющие, обдирающие, разрывающие (например, острые кромки, заусенцы и шероховатость на поверхностях заготовок, инструментов и оборудования) части твердых объектов, воздействующие на работающего при соприкосновении с ним» [7] | Детали  |
|                  |  | «Опасные и вредные производственные факторы, связанные с аномальными микроклиматическими параметрами воздушной среды на местонахождении работающего: температурой и относительной влажностью воздуха» [7]  | Рабочее<br>пространство   |
|                  |  | «Опасные и вредные производственные факторы, связанные с чрезмерным загрязнением воздушной среды в зоне дыхания» [7]   | Рабочее<br>пространство   |
|                  |  | «Повышенный уровень общей вибрации» [7]  | Подвесной конвейер, тележки с электродвигателями  |
|                  |  | «Повышенный уровень локальной вибрации» [7] «Повышенный уровень шума» [7]  | Пневмогайковерт, электрогайковерт Подвесной конвейер, Пневмогайковерт, электрогайковерт, тележки с электродвигателями |
|                  | Φ  | «Недостатки необходимого искусственного освещения» [7]   | Рабочее пространство  |
|                  | Факторы, обладающие свойствами психофизиолог-ического  | «Физические перегрузки, связанные с тяжестью трудового процесса» [7] «Стереотипные рабочие движения» [7] «Монотонность труда, вызывающая   | Выполнение<br>должностных<br>обязанностей   |
|                  | -  |  |   |

Теперь, после выявления опасных и вредных производственных факторов, определим их воздействие на организм человека (рабочего).

# **5.1.2** Воздействие производственных факторов на организм человека

Воздействие производственных факторов на организм человека может быть разнообразным и оказывать как краткосрочные, так и долгосрочные эффекты. Понимание воздействия производственных факторов на организм человека позволяет разрабатывать эффективные меры по снижению рисков и созданию безопасной рабочей среды. В таблице 14 описано как влияет каждый производственный фактор на организм человека.

Таблица 14 – Влияние производственных факторов на организм работающего

| II ODUA   | р у орпа                        |
|---|---------------------------------|
| Наименование ОВПФ                                   | Воздействие ОВПФ на человека    |
| 1   | 2                               |
| «Опасные и вредные производственные факторы,        | Внезапное ухудшение здоровья,   |
| связанные с силами и энергией механического         | травмы различной степени        |
| движения, в том числе в поле тяжести: действие силы | тяжести: ушибы, вывихи,         |
| тяжести в тех случаях, когда оно может вызвать      | переломы, вплоть до             |
| падение твердых, сыпучих, жидких объектов на        | летального исхода.              |
| работающего» [7]                                    |                                 |
| «Неподвижные режущие, колющие, обдирающие,          | Травмы различной степени        |
| разрывающие (например, острые кромки, заусенцы и    | тяжести: ссадины, порезы        |
| шероховатость на поверхностях заготовок,            |                                 |
| инструментов и оборудования) части твердых          |                                 |
| объектов, воздействующие на работающего при         |                                 |
| соприкосновении с ним» [7]                          |                                 |
| «Опасные и вредные производственные факторы,        | Перегрев                        |
| связанные с аномальными микроклиматическими         |                                 |
| параметрами воздушной среды на местонахождении      |                                 |
| работающего: температурой и относительной           |                                 |
| влажностью воздуха» [7]                             |                                 |
| «Опасные и вредные производственные факторы,        | Заболевания легких (пылевые     |
| связанные с чрезмерным загрязнением воздушной       | бронхиты, пневмокониозы)        |
| среды в зоне дыхания» [7]                           |                                 |
| «Повышенный уровень общей вибрации» [7]             | Вибрационная болезнь,           |
| «Повышенный уровень локальной вибрации» [7]         | нарушение сна, боли в суставах, |
|   | проблемы с сердечно-            |
|   | сосудистой системой             |

Продолжение таблицы 14

| Наименование ОВПФ                              | Воздействие ОВПФ на человека |
|--|------------------------------|
| 1  | 2                            |
| «Повышенный уровень шума» [7]                  | Нарушения периферического    |
|  | кровообращения; повышение    |
|  | артериального давления       |
| «Недостатки необходимого искусственного        | Усталость глаз, снижение     |
| освещения» [7]                                 | концентрации                 |
| «Физические перегрузки, связанные с тяжестью   | Проблемы с сердечно-         |
| трудового процесса» [7]                        | сосудистой системой,         |
|  | повышение артериального      |
|  | давления, нарушение сна,     |
|  | потеря сил, боли в мышцах    |
| «Стереотипные рабочие движения» [7]            | Нарушения деятельности       |
| «Монотонность труда, вызывающая монотонию» [7] | нервной системы              |

После анализа опасных и вредных производственных факторов, их источников и воздействия на человека, перейдем к подбору возможных методов их снижения.

## 5.2 Мероприятия по созданию безопасных условий труда

Мероприятия по созданию безопасных условий труда имеют критически важное значение для здоровья работников и успешного функционирования организаций.

«Разработка мероприятий по безопасности труда начинается с организационных вопросов (обучение по охране труда, контроль за состоянием охраны труда, нормативно-техническая документация по охране труда, определение категорий тяжести труда, режима труда и отдыха на конкретном производстве и т. д.).

Затем прорабатываются планировочные мероприятия (соответствие состояния территории предприятия, основных производственных и вспомогательных помещений требованиям безопасности труда).

Следующий шаг — разработка технических мероприятий, которые включают комплекс мер по защите от воздействия каждого из рассмотренных

вредных и опасных производственных факторов» [15]. В таблице 15 представлен ряд мероприятий, выполнение которых должно привести к улучшению условий труда.

Таблица 15 – Мероприятия, направленные на улучшение условий труда

| Наименование ОВПФ                       | Мероприятия по обеспечению безопасных                    |  |  |
|---|--|--|--|
|   | условий труда  |  |  |
| 1                                       | 2  |  |  |
| «Опасные и вредные производственные     | «- Инструктажи по охране труда;                          |  |  |
| факторы, связанные с силами и энергией  | <ul> <li>содержание оборудования в надлежащем</li> </ul> |  |  |
| механического движения, в том числе в   | состоянии;   |  |  |
| поле тяжести: действие силы тяжести в   | – выполнение на регулярной основе                        |  |  |
| тех случаях, когда оно может вызвать    | планово-предупредительного                               |  |  |
| падение твердых, сыпучих, жидких        | обслуживания;  |  |  |
| объектов на работающего» [7]            | – эксплуатация технологического                          |  |  |
| «Неподвижные режущие, колющие,          | оборудования в строгом соответствии с                    |  |  |
| обдирающие, разрывающие (например,      | инструкцией.   |  |  |
| острые кромки, заусенцы и               | – обеспечение работника СИЗ,                             |  |  |
| шероховатость на поверхностях           | смывающими и обеззараживающими                           |  |  |
| заготовок, инструментов и оборудования) | средствами;  |  |  |
| части твердых объектов, воздействующие  | <ul> <li>предохранительные устройства для</li> </ul>     |  |  |
| на работающего при соприкосновении с    | предупреждения перегрузки оборудования;                  |  |  |
| ним» [7]                                | – знаки безопасности, цвета, разметка по                 |  |  |
|   | ΓOCT 12.4.026-2015» [6]                                  |  |  |
|   |  |  |  |
| «Опасные и вредные производственные     | Устройство новых и реконструкция                         |  |  |
| факторы, связанные с аномальными        | имеющихся вентиляционных систем в                        |  |  |
| микроклиматическими параметрами         | производственных помещениях                              |  |  |
| воздушной среды на местонахождении      |  |  |  |
| работающего: температурой и             |  |  |  |
| относительной влажностью воздуха» [7]   |  |  |  |
| «Опасные и вредные производственные     |  |  |  |
| факторы, связанные с чрезмерным         |  |  |  |
| загрязнением воздушной среды в зоне     |  |  |  |
| дыхания» [7]                            |  |  |  |
| «Повышенный уровень общей вибрации»     | «- Обеспечение работников виброзащитной                  |  |  |
| [7]                                     | обувью и перчатками;                                     |  |  |
| «Повышенный уровень локальной           | <ul> <li>применение вибродемпфирующих</li> </ul>         |  |  |
| вибрации» [7]                           | (вибропоглощающих) покрытий;                             |  |  |
|   | – введение регламентированных                            |  |  |
|   | дополнительных перерывов;                                |  |  |
|   | <ul><li>проведение обязательных медосмотров»</li></ul>   |  |  |
|   | [10]   |  |  |

# Продолжение таблицы 15

| Наименование ОВПФ                              | Мероприятия по обеспечению безопасных<br>условий труда   |  |  |
|--|--|--|--|
| 1  | условий груда  |  |  |
| «Повышенный уровень шума» [7]                  | «— Обеспечение работников защитными противошумными наушниками, берушами противошумными;  — применение звукоизоляции, звукопоглощения, демпфирования и глушителей шума (активных, резонансных, комбинированных);  — введение регламентированных дополнительных перерывов;  — проведение обязательных медосмотров» [10]  |  |  |
| «Недостатки необходимого                       | Установка дополнительных источников  |  |  |
| искусственного освещения» [7]                  | освещения  |  |  |
| «Физические перегрузки, связанные с            | «– Увеличение числа работников на  |  |  |
| тяжестью трудового процесса» [7]               | операциях, требующих больших   |  |  |
|  | физических трудозатрат;  |  |  |
|  | – введение регламентированных  |  |  |
|  | дополнительных перерывов» [10]   |  |  |
| «Стереотипные рабочие движения» [7]            | <ul><li>– «объединение малосодержательных</li></ul>  |  |  |
| «Монотонность труда, вызывающая монотонию» [7] | операций в более сложные и разнообразные: длительность объединенных операций не должна превышать 10-12 мин, иначе это повлечет снижение производственных показателей» [6];  — «применение методов эстетического воздействия во время работы, что способствует улучшению психологических условий труда и включает озеленение, цветовой интерьер, оптимальную освещенность рабочего места, снижение шума, вибрации, запыленности и загазованности; |  |  |
|  | – усложнение обязанностей в процессе дежурства, а именно выполнение дополнительных задач по изучению техники, ведение записей в журнале» [6].  |  |  |

После рассмотрения мероприятий по созданию безопасных условий труда рассмотрим вопрос обеспечения электрической безопасности на рабочем месте.

### 5.4 Обеспечение электробезопасности на производственном участке

Обеспечение защиты человека на производстве OT поражения током обусловлено высокой степенью электрическим автоматизации современных технологических процессов и производств. Несмотря на то, что электротравматизм составляет на производстве несколько процентов от общего числа травм, по числу тяжелых травм с летальным исходом поражение людей электрическим током занимает одно из первых мест.

Согласно Правилам устройства электроустановок (ПЭУ), конвейерный производственный цех относится к категории помещений с повышенной опасностью. В электроустановках применяют следующие технические защитные меры:

- малые напряжения (достигаются применением выпрямительных установок, преобразователей частоты и трансформаторов);
- обеспечение недоступности токоведущих частей (применение механических, электрических и электромагнитных блокировок безопасности);
  - защитное заземление (контурное, выносное);
- двойная изоляция (снижает вероятность повреждения изоляции провода);
  - защитное отключение (отключают прибор в случае пробоя на корпус).

Для информирования и защиты персонала применяют плакаты и знаки безопасности (предупреждающие, запрещающие, предписывающие, указательные), а также основные и дополнительные средства индивидуальной защиты. К электрозащитным средствам относятся:

- диэлектрические перчатки,
- боты,
- галоши,
- сапоги,
- изолирующие накладки и подставки.

# **5.5** Обеспечение пожарной безопасности на производственном участке

Пожаробезопасность на производстве обеспечивается организационными, техническими и профилактическими мероприятиями. Согласно нормам технологического проектирования ОНТП-24-86, цех конвейерной сборки по взрывопожарной и пожарной опасности относится к категории Д (негорючие вещества и материалы в холодном состоянии).

Система предотвращения пожара составляет комплекс организационных мероприятий и технических средств, направленных на исключение возможности возникновения пожара.

На случай возникновения пожара производственное помещение оснащено автоматическими и ручными средствами тушения пожара. При небольшом очаге возгорания следует воспользоваться ручными огнетушителями ОХП-10, ОВП-10, ОУ-2. Если ликвидировать возгорание локально не удается и площадь пожара увеличивается, то при повышении температуры среды внутри помещения выше заданного предела автоматически включаются спринклерные установки. Они заполнены водой и срабатывания 2-3 имеют легкоплавкие замки, время ИХ минуты. Автоматическая пожарная сигнализация срабатывает на основе термостатов и в случае пожара подает звуковые и световые сигналы.

Противопожарные стены применяют для разделения зданий цехов на противопожарные отсеки с разной категорией пожарной опасности. Они имеют минимальный предел огнестойкости — 2,5 часа. Для предупреждения распространения пламени с одного здания на другое между ними устанавливают расстояния — противопожарные разрывы.

Система противопожарной защиты составляет комплекс организационных и технических средств, направленных на предотвращение

воздействия на людей опасных факторов пожара и ограничение материального ущерба.

# 5.6 Обеспечение экологической безопасности технологического процесса сборки

При конвейерной сборке происходит выброс вредных веществ в окружающую среду.

«Для очистки вентиляционных выбросов от вредных веществ могут быть использованы пластинчатые электрофильтры, обеспечивающие эффективность очистки около 95%. Такими фильтрами целесообразно оборудовать крупные вентиляционные установки. На выбросной стороне вентиляционных установок необходимо устанавливать глушители абсорбционного типа (трубчатые или пластинчатые)» [5].

Отработанные СОЖ необходимо собирать в специальные емкости. Водную и масляную фазу рекомендуется использовать в качестве компонентов для приготовления эмульсий. Масляная фаза эмульсий может поступать на регенерацию или сжигаться. Водную фазу СОЖ очищают до ПДК или разбавляют до допустимого содержания нефтепродуктов, согласно требованиям СниП II-32-74, и сливают в канализацию.

### 6 Экономическая эффективность проекта

В условиях современного рынка, характеризующегося высокой конкуренцией и динамичными изменениями, оценка экономической эффективности проектов становится важным аспектом успешного управления и принятия решений. Экономическая эффективность проекта позволяет не только определить его целесообразность, но и обосновать выбор оптимальных ресурсов, необходимых для достижения поставленных целей.

«Для оценки экономической эффективности проекта используют комплекс методов и подходов к анализу экономической эффективности, включая расчет основных показателей, таких как чистая приведенная стоимость, внутренняя норма доходности и срок окупаемости. Эти инструменты помогут оценить рентабельность инвестиций и выявить потенциальные риски, связанные с реализацией проекта» [17]. Углубленное понимание экономической эффективности не только способствует более обоснованному управлению проектами, но и помогает обеспечить их устойчивое развитие в долгосрочной перспективе.

Таким образом, данная глава станет основой для дальнейшего анализа и выработки рекомендаций по оптимизации проектных решений, что в конечном итоге приведет к повышению конкурентоспособности продукта и успешному достижению стратегических целей.

## 6.1 Расчет себестоимости модернизированной подвески

Исходные данные для экономического расчета были получены во время работы на территории АО «АВТОВАЗ». Согласно графику производства планируется выпускать 50000 автомобилей LADA Niva Travel в год, соответственно и такое же количество модернизированных изделий.

Себестоимость включает в себя все затраты на производство и сбыт одной единицы продукции. Произведем расчет отпускной цены модернизированной передней подвески автомобиля LADA Niva Travel.

## 6.1.1 Расчет затрат на сырье и материалы

«Себестоимость каждой из статей можно рассчитать нормативным методом. Для этого необходимо знать параметры продукции (нормы расхода), заложенные в конструкторско-технологической документации. Расчеты производятся по следующим формулам.

Затраты на сырье и материалы:

$$3_{\rm M} = \sum_{l=1}^{L} \coprod_{l} \cdot G_{l} \cdot \left(1 + \frac{H_{\rm T3}}{100}\right),\tag{93}$$

где Ц<sub>1</sub> – цена приобретения единицы материала, руб./ед.;

 $G_{l}$  – норма расхода материала на единицу продукции, ед.;

 $H_{{\scriptscriptstyle T3}}$  – норма транспортно-заготовительных расходов.

Расчет затрат на сырье и материалы удобно оформить в таблице 16» [1].

Таблица 16 – затраты на сырье и материалы

| Наименование материала     | Единица   | Цена за ед., | Норма   | Сумма, руб. |
|----------------------------|-----------|--------------|---------|-------------|
|                            | измерения | руб.         | расхода |             |
| Сталь 30ХМ                 | КГ        | 48           | 6       | 288         |
| Труба 30 Сталь 30ХМ        | КГ        | 71,1         | 0,6     | 42,66       |
| Плита 30 В-95              | КГ        | 513          | 0,5     | 256,5       |
| Круг 30 Сталь30ХМ          | КГ        | 43,47        | 9,6     | 417,31      |
| Лист 2,0 Ст30ХГСА          | КГ        | 70           | 0,3     | 21          |
| Плита 30 В-95              | КГ        | 513          | 2,34    | 1200,42     |
| Лист 3,0 Ст30ХГСА          | КГ        | 100          | 0,11    | 11          |
| Лист 3,0 Ст30ХГСА          | КГ        | 100          | 2,34    | 234         |
| Поковка Сталь 30ХМ         | КГ        | 150          | 2,75    | 412,5       |
| ИТОГО:                     | _         | _            | _       | 2883,39     |
| Расходы на транспортировку | _         | 3%           | _       | 86,5        |
| Всего:                     |           | _            |         | 2969,89     |

Детали и комплектующие, которые не производятся на территории АО «АВТОВАЗ», закупаются.

### 6.1.2 Расчет затрат на покупные изделия

«Вычислим объем затрат на покупные комплектующие по формуле (94):

$$\Pi_{\text{M}} = \sum_{i=1}^{n} \coprod_{i} \cdot n_{i} \cdot \left(1 + \frac{K_{\text{T3}}}{100}\right),\tag{94}$$

где Ці – оптовая цена покупных комплектующих изделий і-го вида, р.;

n<sub>i</sub> – количество покупных изделий і-го вида, шт.;

 $K_{T3}$  – коэффициент транспортно-заготовительных расходов» [1].

Результат расчета величины затрат на покупные изделия представлен в форме таблицы 17.

Таблица 17 – Сумма затрат на покупные комплектующие

| Наименование позиции                    | Количество | Средняя цена   | Сумма,   |
|---|------------|----------------|----------|
|   |            | за 1 шт., руб. | руб.     |
| Кронштейн стойки стабилизатора левый    | 1          | 450            | 450      |
| Кронштейн стойки стабилизатора правый   | 1          | 450            | 450      |
| Стабилизатор передний с подушками       | 1          | 1600           | 1600     |
| Стойка стабилизатора                    | 2          | 700            | 1400     |
| Амортизатор передний                    | 2          | 1100           | 2200     |
| Кронштейн переднего амортизатора нижний | 2          | 100            | 200      |
| Пружина передняя                        | 2          | 1300           | 2600     |
| Шаровая опора нижняя                    | 2          | 650            | 1300     |
| Шаровая опора верхняя                   | 2          | 580            | 1160     |
| Шарнир передней подвески нижний         | 4          | 150            | 600      |
| Шарнир передней подвески верхний        | 4          | 60             | 240      |
| Прокладка передней пружины нижняя       | 2          | 80             | 160      |
| Прокладка передней пружины верхняя      | 2          | 85             | 170      |
| Чашка опорная передней пружины верхняя  | 2          | 115            | 230      |
| Подушка переднего амортизатора          | 4          | 21             | 84       |
| Буфер хода отбоя                        | 2          | 65             | 130      |
| Буфер хода сжатия                       | 2          | 80             | 160      |
| Метизы                                  | _          | _              | 780      |
| ИТОГО:                                  | _          |                | 13914    |
| Расходы на транспортировку              |            | 3%             | 417,42   |
| Всего:                                  | _          |                | 14331,42 |

Не стоит забывать, что предприятие также несет издержки на оплату труда рабочим, произведем ее расчет.

# 6.1.3 Расчет основной и дополнительной заработной платы производственных рабочих

«Основная заработная плата:

$$3_0 = 3_T \cdot \left(1 + \frac{K_{\text{прем}}}{100}\right),\tag{95}$$

где  $3_T$  — тарифная заработная плата рабочего в р.

$$3_{\mathrm{T}} = Cp_i \cdot T_i,\tag{96}$$

где Срі – часовая тарифная ставка, р.;

 $T_{i}$  – трудоемкость выполнения операции, ч.;

 $K_{\text{прем}}$  — коэффициент премий и доплат, связанных с работой на производстве, %» [12].

Результаты расчета основной заработной платы производственного персонала вы можете наблюдать в таблице 18.

Таблица 18 – Основная заработная плата рабочих

| Виды операций       | Разряд | Трудоемкость, | Часовая      | Основная       |
|---------------------|--------|---------------|--------------|----------------|
|                     | работы | чел/час.      | тарифная     | зарплата, руб. |
|                     |        |               | ставка, руб. |                |
| Заготовительные     | 2      | 0,58          | 387,5        | 224,75         |
| Штамповка           | 3      | 2,7           | 356,0        | 961,2          |
| Сварочные           | 4      | 2,52          | 437,5        | 1102,5         |
| Мехобработка        | 5      | 1,14          | 531,25       | 605,62         |
| Термообработка      | 3      | 0,95          | 418,58       | 397,65         |
| Слесарносборочные   | 4      | 1,43          | 437,3        | 625,34         |
| ИТОГО:              | _      | _             | _            | 3917,06        |
| Премиальные доплаты | _      | _             | 24%          | 940,09         |
| Основная з/п        | _      | _             | _            | 4857,15        |

После расчета основной заработной платы произведем расчет дополнительной.

Дополнительная заработная плата — это сумма, которая выплачивается работнику сверх его основной зарплаты. Она может принимать различные формы (премии, бонусы, доплата за сверхурочную работу или за сложные условия труда) и иметь разные причины для начисления. Расчет суммы дополнительной заработной платы произведем по формуле (97):

$$3_{\text{ДОП}} = 3_0 \cdot K_{\text{ДОП}},\tag{97}$$

где  $K_{\text{ДОП}}$  – коэффициент доплат к заработной плате, равный 14%.

$$3_{\text{ДОП}} = 4857,15 \cdot 0,14 = 680,0 \text{ p.}$$

Помимо этого, следует помнить, что кроме выплаты основной и дополнительной заработной платы работникам, предприятие осуществляет отчисления в социальный фонд, которые также входят в фонд оплаты труда.

«Отчисления на страховые взносы на обязательное социальное, пенсионное и медицинское страхование с основной и дополнительной заработной платы исполнителей определяются по формуле:

$$3_{\text{соц}} = (3_0 + 3_{\text{ДОП}}) \cdot \frac{H_{\text{соц}}}{100},$$
 (98)

где  $H_{\text{соц}}$  — норматив отчислений на страховые взносы на обязательное социальное, пенсионное и медицинское страхование, равный 30%» [1].

$$3_{\text{соц}} = (4857,15+680) \cdot \frac{30}{100} = 1661,15 \text{ p.}$$

Таким образом, общая сумма, входящая в фонд оплаты труда, составит 7198,3 р.

#### 6.1.4 Расчет производственных расходов

«Не стоит забывать, что производство компонентов ведется на специализированном оборудовании, которое требует затрат на его содержание, обслуживание и ремонт, при необходимости. Эти расходы обычно определяются как процент от затрат на основную зарплату рабочим. Принимаем коэффициент затрат на оборудование равным 1,5» [8]. Произведем расчет затрат на содержание и эксплуатацию оборудования по формуле:

$$C_{\text{con.of.}} = 3_0 \cdot 1,5 = 4857,15 \cdot 1,5 = 7285,73 \text{ p.}$$
 (99)

«Цеховые расходы:

$$C_{\text{uex}} = 3_0 \cdot E_{\text{uex}}, \tag{100}$$

где  $E_{\text{пех}}$  – коэффициент цеховых расходов, равный 175%» [12].

$$C_{\text{nex}} = 4857,15 \cdot 1,75 = 8500,0 \text{ p.}$$

«Расходы на инструмент и оснастку:

$$C_{\text{инстр}} = 3_0 \cdot E_{\text{инстр}}, \tag{101}$$

где  $E_{\text{инстр}}$  – коэффициент цеховых расходов, равный 3%» [12].

$$C_{\text{инстр}} = 4857,15 \cdot 0,03 = 145,71 p.$$

«Цеховая себестоимость модернизированного изделия:

$$C_{\text{цех.c/c}} = 3_{\text{M}} + \Pi_{\text{и}} + 3_0 + 3_{\text{ДОП}} + 3_{\text{соц}} + C_{\text{сод.об.}} + C_{\text{цех}} + C_{\text{инстр}}$$
» [12], (102) 
$$C_{\text{цех.c/c}} = 2969,89 + 14331,42 + 4857,15 + 680 + 1661,15 + 7285,73 + 8500 + 145,71 = 40431,05 \text{ p.}$$

«Общезаводские расходы:

$$C_{\text{об.завод.}} = 3_0 \cdot E_{\text{об.завод.}}, \tag{103}$$

где  $E_{\text{об.завод}}$  – коэффициент общезаводских расходов, равный 150%» [11].

$$C_{\text{об.завод.}} = 4857,15 \cdot 1,5 = 7285,73 p.$$

«Общезаводская себестоимость:

$$C_{\text{об.завод.c/c}} = C_{\text{об.завод.}} + C_{\text{цех.c/c}}$$
 [11], (104)  
 $C_{\text{об.завод.c/c}} = 7285,73 + 40431,05 = 47716,78 \text{ p.}$ 

«Коммерческие расходы:

$$C_{\text{ком}} = C_{\text{об.завод.c/c}} \cdot E_{\text{ком}}, \tag{105}$$

где  $E_{\text{ком}}$  – коэффициент коммерческих расходов, равный 5%» [11].

$$C_{KOM} = 47716,78 \cdot 0.05 = 2385,84 \text{ p.}$$

«Полная себестоимость модернизируемого изделия:

$$C_{\text{полн}} = C_{\text{об.завод.c/c}} + C_{\text{ком}}$$
 [11], (106)   
 $C_{\text{полн}} = 47716,78 + 2385,84 = 50102,62 \text{ p.}$ 

«Отпускная цена проектируемого изделия:

где  $K_{\text{рент}}$  — коэффициент рентабельности и плановых накоплений, равный 20%» [11].

$$L_{\text{отп}} = 50102,62 \cdot (1 + 0,2) = 60123,14 \text{ p.}$$

#### 6.2 Точка безубыточности производства

Точка безубыточности — это финансовый показатель, который определяет объем продаж, при котором доходы предприятия равны её расходам. В этом состоянии компания не получает ни прибыли, ни убытков. Понимание точки безубыточности помогает более эффективно управлять ресурсами предприятия и принимать обоснованные решения о ценообразовании, объемах производства и стратегии продаж.

«Необходимую величину продаж для обеспечения безубыточности проекта можно вычислить по формуле:

$$V_{\rm kp} = \frac{3_{\rm пост.уд} \cdot V_{max}}{\coprod_{\rm OTII} - 3_{\rm перем.уд}},\tag{108}$$

где  $3_{\text{пост.уд}}$  – удельные постоянные издержки на изготовление единицы изделия, р.;

 $V_{max}$  — максимальный объем выпуска изделий, шт.;

Цотп – отпускная цена изделия, р.;

З<sub>перем.уд</sub> – удельные переменные издержки на изготовление единицы изделия, р.» [12].

«Переменные затраты на изготовление единицы продукции

$$3_{\text{перем.уд}} = 3_{\text{M}} + \Pi_{\text{H}} + 3_0 + 3_{\text{ДОП}} + C_{\text{соц.}} \times [12], \tag{109}$$
 
$$3_{\text{перем.уд}} = 2969,89 + 14331,42 + 4857,15 + 680 + 1661,15 = 24499,61 \text{ p.}$$

«Переменные издержки:

$$3_{\text{перем}} = 3_{\text{перем.уд}} \cdot V_{\text{год}}$$
» [12], (110)   
 $3_{\text{перем}} = 24499,61 \cdot 50000 = 1224980500 \text{ p.}$ 

«Амортизационные отчисления:

$$A_{\text{м.уд}} = \left( C_{\text{сод.об.}} + C_{\text{инстр.}} \right) \cdot \frac{H_A}{100},$$
 (111)

где H<sub>A</sub> – доля амортизационных отчислений, равная 15%» [12].

$$A_{\text{м.уд}} = (7285,83 + 145,71) \cdot \frac{15}{100} = 1114,73 \text{ p.}$$

«Постоянные издержки на производство:

$$3_{\text{пост.уд}} = (C_{\text{сод.об.}} + C_{\text{инстр}}) \cdot \frac{(100 - H_{\text{A}})}{100} + C_{\text{цех}} + C_{\text{об.завод}} + C_{\text{ком}} + A_{\text{м.уд}} \times [12],$$

$$3_{\text{пост.уд}} = (7285,73 + 145,71) \cdot \frac{100 - 15}{100} + 8500 + 7285,73 + 2385,84 + 1114,73 = 25603,02 \text{ p.}$$

«Полная себестоимость годовой программы выпуска:

$$C_{\text{полн.r}} = C_{\text{полн}} \cdot V_{\text{год}}$$
 [12], (113) 
$$C_{\text{полн.r}} = 50102,62 \cdot 50000 = 2505131000 \text{ p.}$$

«Выручка от реализации изделия:

Выручка = 
$$C_{\text{опт}} \cdot V_{\text{год}}$$
» [12], (114)  
Выручка =  $60123,14 \cdot 50000 = 3006157000$  р.

«Маржинальный доход:

Наконец вычислим критический объем продаж:

$$V_{\mathrm{\kappa p}} = \frac{25603,02 \cdot 50000}{60123,14 - 24499,61} \approx 35935 \,\mathrm{шт}.$$

Таким образом, компания полностью перекрывает свои расходы при производстве и продаже 35935 модернизированных передних подвесок в составе автомобиля LADA Niva Travel.

#### 6.3 Коммерческая эффективность модернизации

«Наращивание производственной программы в рамках данной работы будем считать равномерным и для определения его величины воспользуемся следующей формулой:

$$\Delta = \frac{V_{max} - V_{\kappa p}}{n - 1},\tag{116}$$

где n – количество лет производства, с учетом подготовки» [12].

$$\Delta = \frac{50000 - 35935}{10 - 1} = 1563 \text{ шт.}$$

«Выручка от продаж:

$$B_i = \coprod_{\text{отп}} \cdot V_{\text{прод}i}, \tag{117}$$

где  $V_{\text{проді}}$  – объем продаж в і-году» [12].

«В первый год производства объем продукции будет рассчитываться следующим образом» [12]:

$$V_{\text{прод}i} = V_{\text{кр}} + \Delta. \tag{118}$$

Для того, чтобы произвести расчет объема производства второго года и всех остальных лет, объем критических продаж заменяется объемом продаж предшествующего года.

$$V_{\rm прод1} = 35935 + 1563 = 37498$$
 шт.,  $V_{\rm прод2} = 37498 + 1563 = 39061$  шт.,  $V_{\rm прод3} = 39061 + 1563 = 40624$  шт.,  $V_{\rm прод4} = 40624 + 1563 = 42187$  шт.,  $V_{\rm прод5} = 42187 + 1563 = 43750$  шт.,  $V_{\rm прод6} = 43750 + 1563 = 45313$  шт.,  $V_{\rm прод7} = 45313 + 1563 = 46876$  шт.,  $V_{\rm прод8} = 46876 + 1563 = 48439$  шт.,  $V_{\rm прод9} = 48439 + 1563 = 50002$  шт.

Выручка предприятия по годам производства составит:

$$B_1 = 60123,14 \cdot 37498 = 2254497500 \text{ p.,}$$
 $B_2 = 60123,14 \cdot 39061 = 2348469970 \text{ p.,}$ 
 $B_3 = 60123,14 \cdot 40624 = 2442442440 \text{ p.,}$ 
 $B_4 = 60123,14 \cdot 42187 = 2536414910 \text{ p.,}$ 
 $B_5 = 60123,14 \cdot 43750 = 2630387380 \text{ p.,}$ 

$$B_6 = 60123,14 \cdot 45313 = 2724359840 \text{ p.,}$$
 $B_7 = 60123,14 \cdot 46876 = 2818332310 \text{ p.,}$ 
 $B_8 = 60123,14 \cdot 48439 = 2912304780 \text{ p.,}$ 
 $B_9 = 60123,14 \cdot 50002 = 3006277250 \text{ p.}$ 

#### «Переменные затраты по годам:

$$3_{\text{перем}i} = 3_{\text{перем.уд}} \cdot V_{\text{прод}i}$$
» [12], (119)   
 $3_{\text{перем1}} = 24499,61 \cdot 37498 = 918686376 \text{ р.,}$    
 $3_{\text{перем2}} = 24499,61 \cdot 39061 = 956979266 \text{ р.,}$    
 $3_{\text{перем3}} = 24499,61 \cdot 40624 = 995272157 \text{ р.,}$    
 $3_{\text{перем4}} = 24499,61 \cdot 42187 = 1033565050 \text{ р.,}$    
 $3_{\text{перем5}} = 24499,61 \cdot 43750 = 1071857940 \text{ р.,}$    
 $3_{\text{перем6}} = 24499,61 \cdot 45313 = 1110150830 \text{ р.,}$    
 $3_{\text{перем7}} = 24499,61 \cdot 46876 = 1148443720 \text{ р.,}$    
 $3_{\text{перем8}} = 24499,61 \cdot 48439 = 1186736610 \text{ p.,}$    
 $3_{\text{перем9}} = 24499,61 \cdot 50002 = 1225029500 \text{ p.}$ 

«Постоянные затраты по годам:

$$3_{\text{пост}} = 3_{\text{пост.уд}} \cdot V_{max}$$
» [12], (120)   
 $3_{\text{пост}} = 25603,02 \cdot 50000 = 1280151200 p.$ 

«Амортизация оборудования:

$$A_{M} = A_{M.y,X} \cdot V_{max}$$
 [12], (121)  
 $A_{M} = 1114,73 \cdot 50000 = 55736500 \text{ p.}$ 

«Себестоимость по годам:

$$C_{\text{полн}i} = 3_{\text{перем}i} + 3_{\text{пост}}$$
» [12], (122)

 $C_{\text{полн1}} = 918686376 + 1280151200 = 2198837576$  р.,

 $C_{\text{полн2}} = 956979266 + 1280151200 = 2237130466$  р.,

 $C_{\text{полн3}} = 995272157 + 1280151200 = 2275423357$  р.,

 $C_{\text{полн4}} = 1033565050 + 1280151200 = 2313716250$  р.,

 $C_{\text{полн5}} = 1071857940 + 1280151200 = 2352009140$  р.,

 $C_{\text{полн6}} = 1110150830 + 1280151200 = 2390302030$  р.,

 $C_{\text{полн7}} = 1148443720 + 1280151200 = 2428594920$  р.,

 $C_{\text{полн8}} = 1186736610 + 1280151200 = 2466887810$  р.,

 $C_{\text{полн9}} = 1225029500 + 1280151200 = 2505180700$  р.,

 $\sum C_{\text{полн}i} = 21168082249$  р.

«Налогооблагаемая прибыль по годам:

«Величина налога на прибыль составляет 20%. Его абсолютное значение рассчитывается от налогооблагаемой прибыли по годам» [11]:

$$H_{\Pi pi} = \Pi p_{o6\pi i} \cdot 0.2, \qquad (124)$$

$$H_{\Pi p1} = 55659924 \cdot 0.2 = 11131984.8 \text{ p.},$$

$$H_{\Pi p2} = 111339504 \cdot 0.2 = 22267900.8 \text{ p.},$$

$$H_{\Pi p3} = 167019083 \cdot 0.2 = 33403816.6 \text{ p.},$$

$$H_{\Pi p4} = 222698660 \cdot 0.2 = 44539732 \text{ p.},$$

$$H_{\Pi p5} = 278378240 \cdot 0.2 = 55675648 \text{ p.},$$

$$H_{\Pi p6} = 334057810 \cdot 0.2 = 66811562 \text{ p.},$$

$$H_{\Pi p7} = 389737390 \cdot 0.2 = 77947478 \text{ p.},$$

$$H_{\Pi p8} = 445416970 \cdot 0.2 = 89083394 \text{ p.},$$

$$H_{\Pi p9} = 501096550 \cdot 0.2 = 100219310 \text{ p.}$$

«Чистая прибыль по годам:

Далее рассмотрим, как изменение конструкции передней подвески влияет на экономические доходы предприятия.

# 6.4 Экономический эффект от повышения надежности и долговечности проектируемых деталей

Иная конструкция стабилизатора поперечной устойчивости обеспечивает повышенную управляемость и устойчивость автомобиля при движении по бездорожью и в поворотах, также новая конструкция имеет повышенный срок службы (долговечность). Помимо этого, устраняются ряд дефектов, таких как: нефункциональные шумы при работе передней подвески, скрипы, выдавливание подушки стабилизатора из обоймы его крепления к нижнему рычагу. Следовательно, по прогнозам должно снизится количество обращений клиентов (потребителей) в гарантийный период в сервисные центры.

«Рассчитаем прибыль, получаемую в результате внедрения данного решения:

$$\Pi p_{\text{ОЖ.Д.}i} = \left(\frac{\coprod_{\text{отп}} \cdot \coprod_{2}}{\coprod_{1}} - \coprod_{\text{отп}}\right) \cdot V_{\text{прод}},\tag{126}$$

где  $Д_1$  и  $Д_2$  — долговечность (срок службы) базового и проектируемого изделия, принимается равной 100000 и 140000» [11].

Отпускная цена стойки стабилизатора передней подвески в сборе составляет 1100 р.

$$\begin{split} &\Pi p_{\text{ОЖ.Д.1}} = \left( \frac{1100 \cdot 140000}{100000} - 1100 \right) \cdot 37498 = 16499120 \text{ р.,} \\ &\Pi p_{\text{ОЖ.Д.2}} = \left( \frac{1100 \cdot 140000}{100000} - 1100 \right) \cdot 39061 = 17186840 \text{ p.,} \end{split}$$

$$\begin{split} &\Pi p_{\text{ОЖ.Д.3}} = \left(\frac{1100 \cdot 140000}{100000} - 1100\right) \cdot 40624 = 17874560 \text{ p.,} \\ &\Pi p_{\text{ОЖ.Д.4}} = \left(\frac{1100 \cdot 140000}{100000} - 1100\right) \cdot 42187 = 18562280 \text{ p.,} \\ &\Pi p_{\text{ОЖ.Д.5}} = \left(\frac{1100 \cdot 140000}{100000} - 1100\right) \cdot 43750 = 19250000 \text{ p.,} \\ &\Pi p_{\text{ОЖ.Д.6}} = \left(\frac{1100 \cdot 140000}{100000} - 1100\right) \cdot 45313 = 19937720 \text{ p.,} \\ &\Pi p_{\text{ОЖ.Д.7}} = \left(\frac{1100 \cdot 140000}{100000} - 1100\right) \cdot 46876 = 20625440 \text{ p.,} \\ &\Pi p_{\text{ОЖ.Д.8}} = \left(\frac{1100 \cdot 140000}{100000} - 1100\right) \cdot 48439 = 21313160 \text{ p.,} \\ &\Pi p_{\text{ОЖ.Д.9}} = \left(\frac{1100 \cdot 140000}{100000} - 1100\right) \cdot 50002 = 22000880 \text{ p.} \end{split}$$

«Ожидаемая прибыль от повышения надежности узла:

$$\Pi p_{\text{OM.H}} = \left( H_{\text{Pem.Ba3}} \cdot 3_{\text{Pem.Ba3}} - H_{\text{Pem.\Pip}} \cdot 3_{\text{Pem.\Pip}} \right) + \\
+ \left( T_{\text{Прост.Ba3}} - T_{\text{Прост.Пp}} \right) \cdot \coprod_{\text{отп}}$$
(127)

где  $H_{\text{Рем.Баз}}$  и  $H_{\text{Рем.Пр}}$  — количество ремонтов базового и проектируемого изделий за год;

 $3_{\text{Рем.Баз}}$  и  $3_{\text{Рем.Пр}}-$  затраты на ремонт базового и проектируемого изделий;

 $T_{\Pi poct, Eas}$  и  $T_{\Pi poct, \Pi p}$  – количество часов простоя техники в ремонте за год по базовому и проектируемому вариантам» [12].

$$\Pi p_{\text{OW.H}} = (131 \cdot 80 - 20 \cdot 700) + (65 - 10) \cdot 1100 = 56980 \text{ p.}$$

«Общественно значимая экономия:

$$\Im_{\text{общ}i} = \Pi p_{\text{ОЖ.Д.}i} + \Pi p_{\text{ОЖ.H}} [12],$$

$$\Im_{\text{общ}1} = 16499120 + 56980 = 16556100 \text{ p.,}$$

$$\Im_{\text{общ}2} = 17186840 + 56980 = 17243820 \text{ p.,}$$

«Текущий чистый доход:

$$\begin{split} \forall \mathcal{A}_i &= \Pi p_{\text{чист}i} - \Pi_{\text{р.ч.}i.6} + A_{\text{M}} + \vartheta_{\text{общ}} \text{»} [12], \end{split} \tag{129} \\ \forall \mathcal{A}_1 &= 44527939, 2 - \Pi_{\text{р.ч.}i.6} + 55736500 + 16556100 = 116820539, 2 \text{ p.,} \\ \forall \mathcal{A}_2 &= 89071603, 2 - \Pi_{\text{p.ч.}i.6} + 55736500 + 17243820 = 162051923, 2 \text{ p.,} \\ \forall \mathcal{A}_3 &= 133615266, 4 - \Pi_{\text{p.ч.}i.6} + 55736500 + 17931540 = 207283306, 4 \text{ p.,} \\ \forall \mathcal{A}_4 &= 178158928 - \Pi_{\text{p.ч.}i.6} + 55736500 + 18619260 = 252514688 \text{ p.,} \\ \forall \mathcal{A}_5 &= 222702592 - \Pi_{\text{p.ч.}i.6} + 55736500 + 19306980 = 297746072 \text{ p.,} \\ \forall \mathcal{A}_6 &= 267246248 - \Pi_{\text{p.ч.}i.6} + 55736500 + 19994700 = 342977448 \text{ p.,} \\ \forall \mathcal{A}_7 &= 311789912 - \Pi_{\text{p.ч.}i.6} + 55736500 + 20682420 = 388208832 \text{ p.,} \\ \forall \mathcal{A}_8 &= 356333576 - \Pi_{\text{p.ч.}i.6} + 55736500 + 21370140 = 433440216 \text{ p.,} \\ \forall \mathcal{A}_9 &= 400877240 - \Pi_{\text{p.ч.}i.6} + 55736500 + 22057860 = 478671600 \text{ p.} \end{split}$$

«Коэффициент дисконтирования аі:

$$\alpha_i = \frac{1}{(1+\mathrm{E})^t},\tag{130}$$

где E — норматив дисконтирования, равный 15%;

t – расчетный год» [12].

$$\alpha_1 = \frac{1}{(1+0.15)} = 0.870,$$

$$\alpha_2 = \frac{1}{(1+0.15)^2} = 0.756,$$

$$\alpha_3 = \frac{1}{(1+0.15)^3} = 0.658,$$

$$\alpha_4 = \frac{1}{(1+0.15)^4} = 0.572,$$

$$\alpha_5 = \frac{1}{(1+0.15)^5} = 0.497,$$

$$\alpha_6 = \frac{1}{(1+0.15)^6} = 0.432,$$

$$\alpha_7 = \frac{1}{(1+0.15)^7} = 0.376,$$

$$\alpha_8 = \frac{1}{(1+0.15)^8} = 0.327,$$

$$\alpha_9 = \frac{1}{(1+0.15)^9} = 0.284.$$

«Текущий чистый дисконтированный доход:

ЧДД
$$_i$$
 = ЧД $_i$  ·  $\alpha_i$ » [12], (131)  
ЧДД $_1$  = 116820539,2 · 0,870 = 101633869,10 p.,  
ЧДД $_2$  = 162051923,2 · 0,756 = 112511253,94 p.,  
ЧДД $_3$  = 207283306,4 · 0,658 = 136392415,61 p.,  
ЧДД $_4$  = 252514688 · 0,572 = 144438401,54 p.,  
ЧДД $_5$  = 297746072 · 0,497 = 147979797,78 p.,  
ЧДД $_6$  = 342977448 · 0,432 = 148166257,54 p.,  
ЧДД $_7$  = 388208832 · 0,376 = 145966520,83 p.,  
ЧДД $_8$  = 433440216 · 0,327 = 141734950,63 p.,  
ЧДД $_9$  = 478671600 · 0,284 = 135942734,40 p.,

$$\sum$$
ЧДД $_i = 1214769201,37$  р.

«Капиталообразующие инвестиции:

$$J_0 = K_{\text{инв}} \cdot \sum C_{\text{полн.}i}, \qquad (132)$$

где  $K_{\text{инв}}$  – коэффициент капиталообразующих инвестиций, принимается равным 4%» [11].

$$J_0 = 0.04 \cdot 21168082249 = 846723289,86 \text{ p.}$$

«Чистый дисконтированный доход:

ЧДД = 
$$\sum_{i=0}^{T}$$
ЧДД $(i) - J_0 \gg [16],$  (133)

ЧДД = 1214769201,37 - 105840411,25 = 1108928790,12 р.

«Индекс доходности инвестиций:

$$JD = \frac{4 \text{ ДД}}{J_0} \times [12], \tag{134}$$

$$JD = \frac{1108928790,12}{846723289.86} = 1,31$$

«Срок окупаемости проекта:

$$T_{\text{окуп}} = \frac{J_0}{4 \text{ДД}} \times [12],$$
 (135)
$$T_{\text{окуп}} = \frac{846723289,86}{1108928790,12} = 0,764$$

Выводы по разделу.

В результате анализа исходных данных и проведении всех необходимых технико-экономических расчетов можно сделать вывод, что модернизация передней подвески легкового автомобиля LADA Niva Travel экономически эффективна.

Среди всех экономических значений следует обратить внимание на объем капиталообразующих инвестиций, равный 846723289 р. 86 к., величину чистого дисконтированного дохода, составляющую 1108928790 р. 12 к., индекс доходности инвестиций, равный 1,31, и на срок окупаемости проекта, который составляет менее одного года.

Данные показатели подтверждают целесообразность проекта с экономической стороны видения.

#### Заключение

В ходе выполнения данного дипломного проекта была проведена комплексная работа по модернизации передней подвески автомобиля LADA Niva Travel на двойных поперечных рычагах. Анализ подвески позволил выявить их сильные и слабые стороны, а также определить направления для улучшения характеристик управляемости и комфорта автомобиля.

Разработанные рекомендации по модернизации подвески включают оптимизацию геометрии стабилизатора поперечной устойчивости, применение новых пружин с использованием современных материалов и технологий.

Проведенные расчеты и моделирование показали, что предложенные изменения способны повысить эксплуатационные характеристики автомобиля, улучшить его ходовые качества и обеспечить большую безопасность на дороге.

В результате исследования было установлено, что модернизация передней подвески не только улучшает управляемость и комфорт, но и способствует снижению износа компонентов автомобиля, что, в свою очередь, увеличивает его срок службы.

Также был разработан новый технологический процесс сборки передней подвески с учетом всех изменений; проведена работа по выявлению опасных и вредных производственных факторов, воздействующих на рабочих, предложены меры по обеспечению производственной и экологической безопасности на производстве.

Результаты, полученные в ходе экономических расчетов, показали экономическую эффективность модернизации.

Таким образом, модернизированная передняя подвеска легкового автомобиля LADA Niva Travel может быть запущена в массовое производство.

#### Список используемой литературы и используемых источников

- 1. Алексеева О.Г. Методические указания по экономическому обоснованию выпускных квалификационных работ бакалавров: Метод. Указания, СПб.: Изд-во СПбГЭТУ «ЛЭТИ», 2013. 17 с.
- 2. Базовое шасси пожарных автомобилей и спасательной техники : учебное пособие / Д. А. Едимичев, А. Н. Минкин, С. Н. Масаев [и др.]. Красноярск : Сиб. федер. ун-т, 2020. 148 с. ISBN 978-5-7638-4289-0.
- 3. Богатырев, А. В. Автомобили : учебник / А.В. Богатырев, Ю.К. Есеновский-Лашков, М.Л. Насоновский ; под ред. проф. А.В. Богатырева. 3-е изд., стереотип. Москва : ИНФРА-М, 2023. 655 с.
- 4. Вахламов В.К. Автомобили: Эксплуатационные свойства: Учебник для студентов высших учебных заведений М.: Издательский центр «Академия», 2005 240 с.
- 5. Горина, Л.Н. Обеспечение безопасности труда на производстве / Л.Н. Горина;. Тольятти 2002. 34 с.
- 6. Горина Л. Н., Фесина М. И. Раздел бакалаврской работы «Безопасность и экологичность технического объекта». Уч.-методическое пособие (2-е изд. Доп.). Тольятти: изд-во ТГУ, 2021. 22 с.
- 7. ГОСТ 12.0.003-2015. Межгосударственный стандарт. Система стандартов безопасности труда. Опасные и вредные производственные факторы. Классификация.
- 8. Капрова, В.Г. Методические указания по технико-экономическому обоснованию дипломного проекта конструкторского и исследовательского направлений для студентов специальности 150100 "Авто-мобиле- и тракторостроение". / В.Г.Капрова;. Тольятти: ТГУ. 2003. 50 с.
- 9. Кисуленко, Б.В. Краткий автомобильный справочник. Легковые автомобили. / Б.В. Кисуленко, М.: Автополис-плюс, 2005. 482 с.

- 10. Михайлов В. А. Экологичные системы защиты воздушной среды объектов автотранспортного комплекса: учебное пособие для студентов вузов, обучающихся по специальности "Наземные транспортнотехнологические средства" / В. А. Михайлов, Е. В. Сотникова, Н. Ю. Калпина. 2-е изд., перераб. и доп. Москва: ИНФРА-М, 2022. 213 с.
- 11. Напольский Г.М. Технологическое проектирование автотранспортных предприятий и станций технического обслуживания: Учебник для вузов.-2-е изд., перераб. и доп.- М.: Транспорт, 1993. 271 с.
- 12. Положение о техническом обслуживании и ремонте подвижного состава автомобильного транспорта/М-во автомоб. трансп. РСФСР. М.: Транспорт, 1988. 78 с.
- 13. Раймпель Й. Шасси автомобиля: Рулевое управление/Пер. с нем. В.Н. Пальянова; Под ред. А. А. Гальбрейха.- М.: Машиностроение, 1987. 232 с.
- 14. Раймпель Й. Шасси автомобиля: Элементы подвески/Пер. с нем. А. Л. Карпухина; Под ред. Г. Г. Гридасова. М.: Машиностроение, 1987. 288 с.
- 15. Черепанов, Л.А. Наземные Транспортно-технологические средства. Выполнение дипломного проекта: электронное учебно-методическое пособие / Л.А. Черепанов. Тольятти: Изд-во ТГУ, 2021. 1 оптический диск. ISBN 978-5-8259-1568-5.
- 16. Черепанов, Л.А. Расчет тяговой динамики и топливной экономичности автомобиля: учеб. Пособие / Л. А. Черепанов; ТолПИ. Тольятти: ТолПИ, 2001. 40 с: ил. Библиогр. : с. 39.
- 17. Чумаков, Л. Л. Раздел выпускной квалификационной работы «Экономическая эффективность проекта». Уч.-методическое пособие / Л. Л. Чумаков. Тольятти: изд-во ТГУ, 2016. 37 с.
- 18. Шубин А. А. Разработка технологического процесса изготовления детали [Текст] : учебное пособие к выполнению курсового проекта по дисциплине "Технология производства наземных транспортнотехнологических средств" / А. А. Шубин ; Федеральное государственное

- бюджетное образовательное учреждение высшего профессионального образования Московский государственный технический университет имена Н. Э. Баумана (Национальный исследовательский университет), Калужский филиал. Калуга: Манускрипт, сор. 2018. 65 с.
- 19. Bächer, H. Suspension Systems for Automotive Vehicles / H. Bächer. Berlin: Springer, 2020. 450 p.
- 20. McKenzie, J. R. Modern Suspension Systems: Design and Analysis / J. R. McKenzie. London: Wiley, 2021. 256 p.
- 21. O'Connor, M. E. Suspension Design and Performance / M. E. O'Connor. Toronto: Pearson, 2022. 275 p.
- 22. Patel, R. K. Innovations in Suspension Design for Modern Vehicles / R. K. Patel. San Francisco: Morgan & Claypool Publishers, 2020. 240 p.
- 23. Wren, R. A. Advanced Suspension System Design / R. A. Wren. Boston: Cengage Learning, 2022. 288 p.
- 24. Zhao, L. Advanced Vehicle Suspension Systems / L. Zhao. Cambridge: Cambridge University Press, 2021. 310 p.

## Приложение А

### Спецификации

| Перв. примен. |              |            | Nas  | '                          | Обозни                                  | QYEHL        | <i>I</i> E | Наименовани  | IE            | Kon         | Приме:<br>чание |
|---------------|--------------|------------|------|----------------------------|---|--------------|------------|--|---------------|-------------|-----------------|
| Перв          |              |            |      |                            |   |              |            | Документаци  | JA            |             |                 |
|               | A1           |            |      | 25.ДП.О1.                  | ' 103.21.                               | 123-3.       | 501011C5   | Сборочный чертеж                                   | <i>(</i>      | 1           |                 |
|               |              |            |      |                            |   |              |            | Сбарочные един                                     | 11 11 1151    |             |                 |
| IB. No        | 1/.          |            | 1    | 2424/ 7                    | F011/ [                                 |              |            | ·  |               | 1           |                 |
| Справ.        | δ/4          |            | 1    | 21214-3                    | 5U1145                                  | )            |            | Кожух защитный п                                   | IUDMU3U       | 1           |                 |
|               | 8/4          |            | 2    | 845008_                    | 2100                                    |              |            | в сборе левый                                      |               | 1           |                 |
|               | <i>U/4</i>   | $\dashv$   | 2    | 043000_                    | לטונ                                    |              |            | Кронштейн датчика с<br>переднего колеса            |               | /           |                 |
|               | -            |            |      |                            |   |              |            | в сборе  | /IEUbIU       |             |                 |
|               | 5/4          |            | 3    | 21214-3                    | 10302                                   | <u>η_</u> η1 |            | Подшипник ступицы па                               | อกอสิมอรก     | 1           |                 |
|               | 0/ /         | -          |      | 21214 3                    | 103020                                  | 5 01         |            | KONECO   | _pconceo      | ,           |                 |
|               | 5/4          |            | 4    | 8450045760                 |   |              |            | Тормоз передний /                                  | ายใหม่        | 1           |                 |
| дата          | -, ,         |            |      | 0+300+3700                 |   |              |            | в сборе  | ,200,0        | •           |                 |
| Todr. u       | δ/4          |            | 5    | 25.ДП.01.103.2123-3506060  |   |              | 506060     | Шланг переднего п                                  | пормоза       | 1           |                 |
| No.           |              |            |      |                            |   |              |            | в сборе левый                                      | ,             |             |                 |
| 1/0           |              |            |      |                            |   |              |            |  |               |             |                 |
| Nº Ayba       |              |            |      |                            |   |              |            |  |               |             |                 |
| MHC.          |              |            |      |                            |   |              |            |  |               |             |                 |
| No.           |              | $\dashv$   |      |                            |   |              |            | Детали   |               |             |                 |
| 1. UHB.       | · /          |            |      | 05.77.0                    | 1402.0                                  | 1041         | 2504070    |  |               |             |                 |
| Вэам.         | 5/4          | _          | 6    | 25.ДП.01.                  |   |              |            | Диск переднего т                                   |               | 1           |                 |
|               | - δ/4<br>δ/4 | $\dashv$   | 7    | <i>25.ДП.01.</i>           |   |              | טטוטול     | Кулак поворотный                                   |               | 1           |                 |
| дата          | 0/4          | $\dashv$   | 8    | 2121-300                   | טוט4ט                                   |              |            | Пластина стопорная                                 | טטווווזטט י   | 1           |                 |
| Nodn. u       |              |            |      | <u> </u>                   |   |              |            | кулака   |               |             |                 |
| 7             | Изм          | . Auc      | -/// | № докум.                   | Подп.                                   | Дата         | 25.        | ДП.01.103.2123                                     | -35010        | <i>911</i>  | <u> </u>        |
| JQU.          | Pas          | раб.       | - /  | Гараев К.К                 | ,,,,,,,,,,,,,,,,,,,,,,,,,,,,,,,,,,,,,,, | , AWIII      | Τηην       | Тормоз передний с //ит.   у   ловоротным кулаком и |               | /LUCITI     | Листо           |
| Nº noda       | Πρα          | <i>ID.</i> | _ ′  | Nama B.H                   |   |              | •          |  |               |             | 1 2             |
| NHO.          | Н.К.<br>Ута  | OHM<br>B   |      | Лата В.Н<br>Бобровский А.В |   |              |            | ей левый в сборе                                   | <i>TTY, F</i> | 1 <i>Tc</i> | - <i>2001</i>   |

Рисунок А.1 – Спецификация «Тормоз передний с поворотным кулаком и ступицей левый в сборе» лист 1

|     | Фармат      | ЗОНО | Ros | Обозначение            | Наименование              | Кол     | Приме<br>чание |
|-----|-------------|------|-----|------------------------|---------------------------|---------|----------------|
|     | 8/4         |      | 9   | 2123-3001031           | Рычаг поворотный тяги     | 1       |                |
| İ   |             |      |     |                        | рцлевой трапеции левый    |         |                |
| İ   | <i>§/</i> 4 |      | 10  | 21214-3103032          | Стопорное кольцо          | 2       |                |
| Ī   | 8/4         |      | 11  | 21214-3103015          | Ступица переднего колеса  | 1       |                |
| ŀ   | δ/4         |      | 12  | 2121-3104039           | Болт крепления колеса     | 5       |                |
|     | δ/4         |      | 13  | 2121-3001037           | Болт крепления рычага     | 2       |                |
|     |             |      |     |                        | рцлевой трапеции          |         |                |
|     | δ/4         |      | 14  | 2121-3502078           | Болт крепления тормозного | 2       |                |
|     |             |      |     |                        | диска                     |         |                |
|     | <i>§/</i> 4 |      | 15  | 2108-3501030-01        | Болт крепления цилиндра   | 2       |                |
|     |             |      |     |                        | переднего тормоза к       |         |                |
| f   |             |      |     |                        | суппорту                  |         |                |
|     | δ/4         |      | 16  | 1/38246/11             | Болт М6х25 Табл.20362     | 1       |                |
| - 1 | ō/4         |      |     | 1/38256/21             | Болт М8х16 Табл.10362     | 1       |                |
| - 1 | δ/4         |      |     | 1/61015/21             | Гайка М12х1,25 Табл.10112 | 2       |                |
| - ⊦ | δ/4         |      |     | 1/26437/01             | <u>Шайба 6 Табл.10172</u> | 1       |                |
|     | δ/4         |      |     | 2108-3501039-01        | Шайба 12 крепления        | 2       |                |
|     |             |      |     |                        | тормоза                   |         |                |
| =   |             |      |     |                        | ,                         |         |                |
|     |             |      |     |                        |                           |         |                |
|     |             |      |     |                        |                           |         |                |
|     |             |      |     |                        |                           |         |                |
|     |             |      |     |                        |                           |         |                |
|     |             |      |     |                        |                           |         |                |
|     |             |      |     |                        |                           |         |                |
| Į   |             |      |     |                        |                           |         |                |
|     |             |      |     |                        |                           |         |                |
|     |             |      |     |                        |                           |         |                |
|     |             |      |     |                        |                           |         |                |
|     |             |      |     |                        |                           |         |                |
|     |             |      |     | 2                      |                           | <br>11[ | 5              |
|     | Изм         | 1/1  | בוח | № докум.   Подп.  Дата | nupoban                   | ,       |                |

Рисунок А.2 – Спецификация «Тормоз передний с поворотным кулаком и ступицей левый в сборе» лист 2

|               | фармат                              | Зана               | Nos | Обозначение                                   | Наименование                                       | Кол           | Приме-<br>чание |
|---------------|-------------------------------------|--------------------|-----|---|--|---------------|-----------------|
| Перв. примен. |                                     |                    |     |   | Документация                                       |               |                 |
| Иери          | A1                                  |                    |     | 25.ДП.О1.103.21214-2904011СБ                  | Сборочный чертеж                                   | 1             |                 |
|               |                                     |                    |     |   | Сбарочные единицы                                  |               |                 |
| Справ. №      | δ/4                                 |                    | 1   | 21214-2904082-02                              | Палец шаровой передней подвески нижний с защитным  | 1             |                 |
|               | δ/4                                 |                    | 2   | 21214-2904021                                 | чехлом<br>Рычаг передней подвески                  | 1             |                 |
|               | δ/4                                 |                    | 3   | 25.ДП.01.103.2123-2902735                     | нижний левый в сборе<br>Чашка пружины передняя     | 1             |                 |
|               | , ,                                 |                    | _   | 23.47 1.0 1. 103.2 123 2702 733               | левая в сборе                                      |               |                 |
| 7             | δ/4                                 |                    | 4   | 21214-2904040                                 | Шарнир нижнего рычага                              | 2             |                 |
| Подг. и дата  |                                     |                    |     |   | передней подвески                                  |               |                 |
|               | _                                   |                    |     |   |  |               |                 |
| Инв. № дубл.  |                                     |                    |     |   | Детали   |               |                 |
|               | $ \frac{1}{A1}$                     |                    | 5   | 25.ДП.01.103.2123-2904177                     | Кронштейн стойки                                   | 1             |                 |
| M. UHB. Nº    |                                     |                    |     |   | стабилизатора левый                                |               |                 |
| Вэам. с       | б/4                                 | 8/4 6 2121-2904194 |     | 2121–2904 194                                 | Болт крепления шаровой                             | 2             |                 |
| B             | $\dashv$                            |                    |     |   | опоры к рычагам передней                           |               |                 |
| Ша            |                                     |                    |     |   | подвески   |               |                 |
| Подп. и дата  | <i>δ/4</i>                          |                    | 7   | 1/60440/30                                    | Болт М8х40 Табл.10312                              | 1             |                 |
| Nodn.         | Из                                  | 1. /ILI            |     | N° ãokum. Noão Jama 25.Z                      | 7.7.01.103.21214-2904                              | 011           | <u></u>         |
| Инв. № подл.  | Разраб. Гараев К<br>Пров. Лата В.Н. |                    |     | Гараев К.К<br>Лата В.Н РЫЧАЗ П.<br>НИЖН       | Рычаг передней подвески <u>у</u> нижний с чашкай и |               |                 |
| JHD.          |                                     | ОНП)<br>16.        |     | Лата В.Н. Ш <b>арнир</b> а<br>Бобровский А.В. | ми левый в сборе ТГУ, А                            | 4/ <i>C</i> - | - <i>ZUU'll</i> |

Рисунок А.3 – Спецификация «Рычаг передней подвески нижний с чашкой и шарнирами левый в сборе» лист 1

| Формат   | ЗОНО     | Поз | Обозначение                           | Наименование              | Кол  | Приме<br>Чание |
|----------|----------|-----|---------------------------------------|---------------------------|------|----------------|
| δ/4      |          | 8   | 1/12880/31                            | Болт М10х1,25х60          | 4    |                |
| -        |          |     | · · · · · · · · · · · · · · · · · · · | Ταδη.10188                |      |                |
| δ/4      |          | 9   | 1/61008/21                            | Гайка М8х1,25 Табл.10112  | 3    |                |
| 8/4      |          |     | 1/21647/21                            | Γαύκα Μ10x1,25 Ταδη.10112 | 4    |                |
| δ/4      | _        |     | 1/05166/70                            | Шайба 8 Табл.10188        | 3    |                |
| δ/4      | _        |     | 1/05168/70                            | Шайба 10 Табл.10188       | 4    |                |
| 8/4      | _        |     | 2101-2904228                          | Шайба нижних болтов       | 2    |                |
|          |          |     |                                       | крепления поперечины к    |      |                |
|          |          |     |                                       | лонжерону                 |      |                |
|          |          |     |                                       |                           |      |                |
|          |          |     |                                       |                           |      |                |
|          |          |     |                                       |                           |      |                |
| _        |          |     |                                       |                           |      |                |
|          |          |     |                                       |                           |      |                |
|          |          |     |                                       |                           |      |                |
|          |          |     |                                       |                           |      |                |
|          |          |     |                                       |                           |      |                |
|          |          |     |                                       |                           |      |                |
|          |          |     |                                       |                           |      |                |
|          |          |     |                                       |                           |      |                |
|          |          |     |                                       |                           |      |                |
|          |          |     |                                       |                           |      |                |
|          |          |     |                                       |                           |      |                |
|          |          |     |                                       |                           |      |                |
| L        |          |     |                                       |                           |      |                |
| 1        |          |     |                                       |                           |      |                |
|          |          |     |                                       |                           |      |                |
|          |          |     |                                       |                           |      |                |
|          |          |     |                                       |                           |      |                |
|          |          |     |                                       |                           |      |                |
| $\vdash$ | $\vdash$ |     |                                       |                           |      |                |
|          |          |     |                                       |                           |      |                |
|          |          |     |                                       |                           |      |                |
| 4        |          |     |                                       |                           |      |                |
|          |          |     |                                       |                           |      |                |
|          | M. /W    |     | № докум. Подп. Дата                   | 25.ДП.01.103.21214-29040  | 7110 | Б /            |

Рисунок А.4 – Спецификация «Рычаг передней подвески нижний с чашкой и шарнирами левый в сборе» лист 2

|               | 1    | трыдож       | ЗОНО | Nos | Обозначение                  | Наименование              |             | Кол. | Приме-<br>чание |
|---------------|------|--------------|------|-----|------------------------------|---------------------------|-------------|------|-----------------|
| Перв. примен. |      |              |      |     |                              | Документация              |             |      |                 |
| JaU           | A    | 11           |      |     | 25.ДП.01.103.2123-2906010СБ  | Сборочный чертеж          |             | 1    |                 |
|               |      |              |      |     |                              | Детали                    |             |      |                 |
| Cripaß. Nº    | ð    | /4           |      | 1   | <i>25.ДП.01.103.00.001</i>   | Кольцо ограничителы       | HOE         | 2    |                 |
| 7             | ð    | /4           |      | 2   | 25.ДП.01.103.2123-2906046    | Подушка штанги передн     | <i>1</i> 20 | 2    |                 |
|               |      |              |      |     |                              | стабилизатора попереч     | HOŪ         |      |                 |
|               |      |              |      |     |                              | устойчивости              |             |      |                 |
|               | ð    | /4           |      | 3   | 25.ДП.01.103.2123-2906016    | Штанга переднего          |             | 1    |                 |
|               |      |              |      |     |                              | стабилизатора попереч     | ΉΟŪ         |      |                 |
|               |      |              |      |     |                              | <i>устойчивости</i>       |             |      |                 |
| 7             |      |              |      |     |                              |                           |             |      |                 |
| dam           |      |              |      |     |                              |                           |             |      |                 |
| Подп. и дата  |      |              |      |     |                              |                           |             |      |                 |
| OU            |      |              |      |     |                              |                           |             |      |                 |
| Инв. № дубл.  |      |              |      |     |                              |                           |             |      |                 |
|               |      |              |      |     |                              |                           |             |      |                 |
| UHB. Nº       |      |              |      |     |                              |                           |             |      |                 |
| Взам          |      |              |      |     |                              |                           |             |      |                 |
| 7             | _    |              |      |     |                              |                           |             |      |                 |
| משם           |      |              |      |     |                              |                           |             |      |                 |
| Подп. и дата  |      |              |      |     |                              |                           |             |      |                 |
| Nodr          | <br> | 13M.         | Лис  | 777 | № докум. Подп. Дата 25.Д     | 7,7.01.103.2123–29        | 060         | 710  | СБ              |
| эдл.          | F    | Q3/          | οαδ. | /   | anaeh KK                     | Стабилизатор поперечной у |             |      | Листов          |
| инв. № подл.  |      | Tpou         | J.   |     | <u> ЦСТОЙЧ</u>               | ивости пепедний           |             |      | 0001            |
| HB.           |      | l.KO.<br>Imb | нтр  |     | Пата В.Н.<br>Робровский А.В. | в сборе 1                 | Y, A        | /_   | -2001d          |

Рисунок А.5 – Спецификация «Стабилизатор поперечной устойчивости передний в сборе»

|               | Фармат      | Зана       | Nos | Обозначение                                | Наименование                          | Кол.        | Приме<br>чание |
|---------------|-------------|------------|-----|--|---------------------------------------|-------------|----------------|
| Перв. примен. |             |            |     |  | Документация                          |             |                |
| Лерв.         | A1          |            |     | 25.ДП.01.103.2180-29060510                 | ГБ Сборочный чертеж                   | 1           |                |
|               |             |            |     |  | Детали                                |             |                |
| Справ. №      | δ/4         |            | 1   | 2180-2906051.04                            | Вкладыш стойки                        | 2           |                |
|               | δ/4         |            | 2   | <br>  004-D-1                              | стабилизатора<br>Защитный колпачек    | 2           |                |
|               | δ/4         |            |     | 2180-2906051.06-01                         | Кольцо пружинное                      | 2           |                |
|               | δ/4         |            | 4   | 2180-2906051.02                            | Кольцо стойки                         | 2           |                |
| lama          |             |            |     |  | стабилизатора                         |             |                |
|               | δ/4         |            | 5   | 2180-2906051.07-01                         | Кольцо уплотнительное                 | 2           |                |
|               | δ/4         |            | 6   | 038–2906051.01                             | Палец шаровой стойки<br>стабилизатора | 2           |                |
| Подп. и дата  | <i>5/</i> 4 |            | 7   | 25.ДП.01.103.2180-2906051.0                | 73 Стержень стойки                    | 1           |                |
| ина. № дубл.  |             |            |     |  | стабилизатора                         |             |                |
| B30M. UHB. Nº |             |            |     |  |                                       |             |                |
| Подп. и дата  |             |            |     |  |                                       |             |                |
| Noðn.         | Изм         | ! /IUI     |     | № докум.   Подп.  Дата                     | Б.ДП.01.103.2180-290 <i>6</i>         | 605 i       | 1C5            |
| Инб. № подл.  | При         |            | /   | Tapaeli K.K.<br>Mama B.H. CMOL             | ІКО Переднего У                       | /lucm       | /lucmo         |
| ZH/           | 17.Ki       | OHM;<br>B. |     | Лата В.Н. СТАО̀И,<br>Бобровский А.В. Копи, | <u> </u>                              | AIL<br>DMAM | -2007<br>      |

Рисунок А.6 – Спецификация «Стойка переднего стабилизатора в сборе»